

9/4

بِسْمِ اللَّهِ الرَّحْمَنِ الرَّحِيمِ

جامعة البحر الأحمر

كلية الهندسة

قسم الميكانيكا

بحث تكميلي لنيل درجة البكالوريوس في الهندسة الميكانيكية

بإعوان :

التحليل اللاخطي للأواح

الشرائح المستطيلة

إشراف الأستاذ :

أسامة محمد المرضي سليمان
Osama Mohammed Elmardi
Faculty of Engineering
Nile valley university
Atbara - Sudan

إعداد الطلاب :

- 1- موسى عبد القادر محمد توم .
- 2- محمد المبارك محمد المأمون .
- 3- خالد محرم محمد محرم .

فبراير 2005



إِسْتِزَال

قَالَ تَعَالَى :

(رَبِّ أَوْزِرْ عَنِّي أَنْ أَشْكُرَ نِعْمَتَكَ الَّتِي أَنْعَمْتَ عَلَيَّ وَعَلَىٰ وَالِدَيَّ
وَأَنْ أَعْمَلَ صَالِحًا تَرْضَاهُ وَأَدْخِلْنِي بِرَحْمَتِكَ فِي عِبَادِكَ الصَّالِحِينَ)

سورة النمل الآية ١٩

صدق الله العظيم



إهداء

الي كل من حمل قلماً في يديه
الي كل من ركب قطار هذا التعليم
الي كل من خاض غمار هذه المعارك

الي أمي

التي ما زالت ترضعني من المعرفة
الي من تحت قدميها جنات الله والخلد

الي أبي

رمز الشموخ والأباء

الي أساتذتي

الذين ركبوا معنا عجلة الزمن وصولاً الي رفعتنا
الي كل من قال كل رجلاً قدمناه في السحاب
وهامته الثريا .

الي كل الاصدقاء و الزملاء
و الي كل رفقاء درب المعرفة

باسم الرحمن الرحيم

شكر و عرفان

الشكر لله رب العالمين مبدئاً ومختتماً .

إلى كلية الهندسة :

التي احتضنتني ونلت منها ما يروى ظمئي

إلى الأستاذ / اسامة محمد المرضي سليمان

الذي لولاه لما رأي هذا البحث النور ، فحقن
مصل الكلام في أوردة الصمت وجاء نهلاً بعد علل .

إلى كل الاساتذة الأجلاء :

الذين لم يبخلوا من تقديم جل ما يمكنهم
تقديمه اتجاهنا وهذا تقديراً منا لهم وهو
ابسط من قدرهم الاعظم ، وبالأخص عميد
الكلية العامرة د. فاروق عبد السلام .

وإلى الذين جاءوا قطرات للندي ٠٠٠ الزملاء
والزميلات بالدفعة (الثامنة)
إلى أسرة وايتك الهندسية

شكراً و عرفاناً وتقديراً لهم جميعاً

الباحثون

ملخص

في هذا البحث تم استخدام أسلوب الاسترخاء الديناميكي (DR) للتحليل الخطي و اللاخطي للألواح التراجعية المستطيلة المسطحة عليها حمل عرضي ساكن موزع بانتظام علي مستوي اللوح . يستخدم التحليل نظرية الألواح (Plate theory) التي تتضمن تأثيرات تشوه القص المستعرض . تم عمل برنامج حاسوب لحل العددي للمعادلات الرئيسية . و قد تم التحقق من تقارب و دقة البرنامج بتحليل طيف واسع من الألواح ذات الانحرافات الصغيرة و الكبيرة و مقارنتها بحلول مماثلة و قد أعطى البرنامج نتائج جيدة موافقة لتلك الحلول . تم الحصول علي نتائج عددية جديدة لشرائح مستطيلة مسطحة عليها حمل عرضي ساكن موزع بانتظام و ذلك لدراسة تأثيرات الحمل ، عدد الطبقات ، تباين الخواص للمادة ، و نسبة النطاق .

وجد في هذه الدراسة إن انحراف القص يعتمد كثيراً علي عدد من العوامل من بينها الحمل المسطوح ، سمك اللوح إلي سمكه ، درجة تباين خواص المادة ، و عدد الطبقات المستخدمة.

ترميزات

أطوال جانب اللوح في اتجاه x و y على الترتيب .	b و a
جساءة اللوح للإستطالة	A
جساءة اللوح للإزدواج	B
جساءة اللوح للإنتشاء	D
مكونات إنفعال الاستطالة و القص لمستوي منتصف اللوح .	ϵ_1^0 ، ϵ_2^0 ، ϵ_6^0
مكونات انفعال القص المستعرض لمستوي منتصف اللوح .	ϵ_4^0 ، ϵ_5^0
معايير المرونة و معايير القص الطولية .	E_1 ، E_2 ، G_{12}
سمك اللوح .	h
مكونات التقوس و الإلتواء لمستوي منتصف اللوح .	χ_1^0 ، χ_2^0 ، χ_6^0
عوامل الإخماد في المستوي ، خارج المستوي	K_u ، K_v ، K_w ، K_ϕ ، K_ψ
و عوامل الإخماد الدوارة .	
ازدواجات الاجهاد .	M_1 ، M_2 ، M_6
ازدواجات الاجهاد اللابعدية .	M'_1 ، M'_2 ، M'_6
محصلات الاجهاد .	N_1 ، N_2 ، N_6
محصلات الإجهاد اللابعدية .	N'_1 ، N'_2 ، N'_6
الحمل المستعرض .	q
الحمل المستعرض اللابعدي .	q
محصلات اجهاد القص المستعرض .	Q_1 ، Q_2

الازاحات في المستوي .

$v \cdot \delta$

الانحراف .

w

الانحراف اللابعدى .

w

الفترة الزمنية .

δ

دوران الاصل حول المحور المتعامد مع مستوي منتصف اللوح .

Ψ , Φ

نسبة بواسون .

v

الكثافات الوهمية في المستوي ، خارج المستوي $\rho_{\Psi} , \rho_{\Phi} , \rho_w , \rho_v , \rho_s$

و الدوارة .

المحتويات

رقم الصفحة	الموضوع
i	الشكر و العرفان
ii	ملخص
iii	ترميزات
v	المحتويات
	الفصل الاول (1) : مقدمة
1	1.1 مقدمة عامة
2	1.2 بنية المواد المركبة
3	1.3 تطور نظريات الالواح الشرائحية
4	1.4 اهداف الدراسة الحالية
	الفصل الثاني (2) : النموذج الرياضي للألواح
6	2.1 النظرية الخطية
16	2.2 النظرية اللاخطية
17	2.3 معادلات التحويل
	الفصل الثالث (3) : الاسلوب العددي المستخدم
22	3.1 صياغة اسلوب الاسترخاء الديناميكي (DR)
23	3.2 معادلات اللوح
25	3.3 تقريبات الفروقات المحددة
25	3.4 شكل الفروقات المحددة لمعادلات اللوح
28	3.5 خطوات اسلوب الاسترخاء الديناميكي (DR) التكرارية
28	3.6 الكثافات الوهمية
	فصل الرابع (4) : التحقق من صحة برنامج الحاسوب
29	4.1 مقارنات الانحراف الصغير
29	4.2 مقارنات الانحراف الكبير

الفصل الخامس (5) : دراسة بعض الحالات	
31	5.1 اثر الحمل
31	5.2 اثر عدد الطبقات
32	5.3 اثر تباين خواص المادة
32	5.4 اثر نسبة النطاق
33	المراجع
35	ملحق (A) : جداول
39	ملحق (B) : مخططات
41	ملحق (C) : الشروط الحدودية
42	ملحق (D) : تقدير الكثافات الوهمية
45	ملحق (E) : برنامج حاسوب بلغة الفورتران

الفصل الأول

1.0 مقدمة

1.1 مقدمة عامة :

لقد تم استخدام المواد المركبة كمواد بنيوية من أكثر من نصف قرن ومنذ ذلك الوقت فقد لاقت المواد المركبة رواجاً متزايداً في مجالات عديدة مثل علم المواد ، تقنية التصنيع والتحليل النظري .

مصطلح مواد مركبة يمكن أن يعني أي شيء إذا اخذ من المعنى الظاهر بما أن جميع المواد هي مواد مركبة بمكونات غير متشابهة إذا تم فحصها بتفاصيل كافية ولكن في علم هندسة المواد الحديث فإن هذا المصطلح عادة ما يرجع لمصفوفة مادة مقواة بالألياف .

المواد اللامتجانسة والمتباينة الخواص التي تحتوي على مكونات غير متشابهة تم استخدامها بواسطة الطبيعة لملايين من السنوات . المجتمعات القديمة وبتقليدها للطبيعة استخدمت هذا الأسلوب حيث تحدث كتاب الهكسوس عن استخدام القش لتقوية الطين في صناعة الطوب .

ايضاً هنا في السودان حيث اعتاد الناس من أزمان بعيدة ترجع لحضارة مروية وحتى يومنا هذا في استخدام الزبالة مخلوطة بالطين كمادة بناء قوية .

كما روى ديفيد رويلانس [1] فإن الألياف المستخدمة في المواد المركبة الحديثة لديها متانات وجساءات أكبر من تلك للمواد البنيوية التقليدية مثل (ال فولاذ - الألمونيوم - الحديد الزهر وغيرها) . المتانة العالية للألياف الزجاجية هي نتاج معالجتها بحيث تتفادي الشقوق الداخلية والسطحية التي عادة ما تضعف الزجاج ، ومتانة وجساءة ألياف المواد المتبلرة هي نتاج المحازاة المثالية لسلاسل جزيئاتها مع محور الألياف .

هذه المواد لا تستخدم عموماً كألياف فقط بل يتم زرعها في مصفوفة مادة تقوم بنقل الأحمال إلى الألياف وأيضاً تحمي الألياف من البري وهجوم البيئة الخارجية . هذه المصفوفة تخفف الخواص إلى حد ما ولكن رغم ذلك فيمكن الحصول على خواص نوعية عالية من هذه المواد.

تمتلك المواد المركبة خاصيتان مرغوبتان ، الخاصية الأولى هي نسبة متانتها إلى وزنها العالية ، والثانية هي خاصية إمكانية حياكتها بنقاوت اتجاه اليافا وترتيب الألياف التي تعطي المصممين طيف واسع من المرونة . هذه الخواص الجيدة مكنت استخدام مثل هذه المواد في كثير من التطبيقات الهندسية مثل أجسام الطائرات والسفن الفضائية والسفن والقوارب البحرية والقاطرات والسيارات وغيرها . أي مادة مركبة تشقية تتكون من عدد من الطبقات مرصوفة فوق بعضها البعض لتشكيل لوح مركب شراحي ذو متانة عالية . كل طبقة تكون مقواه بالألياف بطول اتجاه مفرد وبطبقات متبادلة عادة ما تمتلك اتجاهات متباينة . لهذه الأسباب ، فإن المواد المركبة أصبحت تحل محل المواد التقليدية المستخدمة في المنشآت الهندسية . حقيقة يمكن أن تكون هذه المواد مواداً للمستقبل إذا انخفضت تكلفتها وذلك بإضافة بعض التحسينات في تقنية إنتاجها وتوسيع معدلات بيعها .

1.2 بنية المواد المركبة :

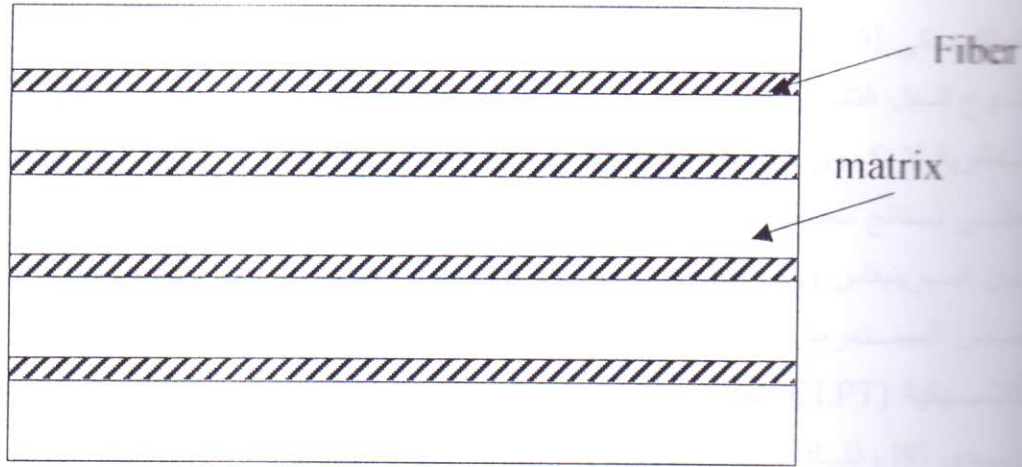
لكي يتم تصنيف المواد المركبة يجب التمييز بين النوعين التاليين كما أشار ديفيد رويلاس {1} ، فيرنون {2} وجان استيغمان {3}

1) المواد المركبة الأليافية Fibrous Composite materials :

تتكون هذه المواد من ألياف ذات متانة عالية مغمورة في مصفوفة مادة ذات متانة أقل ووظيفة المصفوفة هي ربط الألياف مع بعضها البعض لحمايتها من الكسر ونقل الحمل من إحدى الألياف إلى الأخرى أنظر الشكل (1.1) أدناه

2) المواد المركبة الجسيمية Particulate composite materials :

تتكون هذه المواد من جسيمات موزعة بانتظام خلال مصفوفة متينة كمثال صيحات في مصفوفة مثل الفخار .



شكل رقم (1.1) بنية المواد المركبة الاليفية

في هذا البحث سيتم التركيز على المواد المركبة المقواه بالألياف لأنها هي عنصر البناء الأساسي للألواح الشرائحية المستطيلة . عادة ما تتكون هذه المادة من طبقات متعددة مصنوعة من مادة مقواه بالألياف وغالباً ما يتم ترتيب هذه الطبقات بزوايا متباينة لإعطاء المتانات والجساءات حسب الطلب . وهكذا فإن متانات وجساءات المادة المركبة المقواه بالألياف يمكن حياكتها لمتطلبات التصميم المعين للعنصر الإنشائي المراد بناؤه .

1.3 تطور نظريات الألواح الشرائحية :

من وجهة نظر ميكانيكا المصمات ، فإن تشوه اللوح المسطوح عليه حمل عرضي يتكون من مكونين : تشوه انعطافي نتيجة لدوران المقاطع العرضية وتشوه قصي نتيجة لإنزلاقات المقاطع أو الطبقات . يعتمد التشوه الناتج على عنصرين : نسبة سمك اللوح إلى طوله (h/a) ونسبة المعايير المرنة إلى معايير القص (E/G) . عندما تكون نسبة سمك اللوح إلى طوله صغيرة ، فإن اللوح يحترق رقيقاً ويتشوه رئيسياً بالانعطف أو الإنحاء ، بينما عندما تكون كل من نسبة سمك اللوح إلى طوله ونسبة المعايير المرنة إلى معايير القص كبيرة ، فإن اللوح يتشوه رئيسياً بالقص . نتيجة للنسبة العالية للمعايير المرنة إلى معايير القص المستعرض ، فإن تأثيرات تشوه القص تكون أكثر وضوحاً في الشرائح المركبة المسطوح عليها احتمالاً مستعرضة من تلك لألواح متشابهة الخواص تحت نفس شروط التحميل .

يسا وريدي {4} قاما بتصنيف التحليلات ثنائية البعد للألواح المركبة الشرائحية إلى صنفين : (1) نظرية الألواح الكلاسيكية و (2) نظريات تشوه القص . في كلتا النظريتين يتم افتراض أن الشرائح في حالة إجهاد مستوي وتكون الشريحة المفردة مرنة بدرجة خطية ، وأن هنالك ترابط مثالي بين الطبقات . نظرية الشرائح الكلاسيكية (CLPT) والتي هي إمتداد لنظرية الألواح الكلاسيكية (CPT) المطبقة إلى الألواح

الشرائحية هي النظرية الأولى المصاغة لتحليل الألواح الشرائحية بواسطة ريسنر واستفكي (5) في العام 1961م ، والتي تقول إن الخطوط المتعامدة على منتصف سطح اللوح قبل التشوه تبقى مستقيمة ومتعامدة مع منتصف سطح اللوح بعد التشوه ، لكن هذه النظرية لا تكون كافية للتحليل الانعطافي لشرائح متوسطة السمك . على أي حال ، فإنها تعطي نتائج معقولة لعدد من المسائل الهندسية مثل الألواح الشرائحية الرفيعة كما ذكر كل من ميرينيفاس وراو (6) وريسنر واستفكي (5). هذه النظرية تتجاهل مكونات إجهاد القص المستعرض وتعتبر الشرائح كطبقة مفردة مكافئة . نظرية الألواح الشرائحية الكلاسيكية (CLPT) تعطي تقديرات ناقصة للانحرافات قام باثباتها تيرفي وعثمان (7) ويريدي (8) وذلك نتيجة لتجاهل إنفعال القص المستعرض وتصبح الأخطاء في تقدير التحركات أكبر بكثير لألواح مصنعة من مواد مركبة متقدمة مثل ابوكسي جرافيت ولبوكسي بورون التي تمتلك نسبة معايير مرونة إلى معايير قص كبيرة جداً (تتراوح فيما بين 25 إلى 40 ، بدلاً عن 2.6 لمواد متشابهة الخواص) . على أي حال ، فإن هذه المواد المركبة تكون أكثر حساسية لتأثيرات السمك لأن معايير القص المستعرض الفعالة تكون أصغر من المعايير المرنة الفعالة بطول اتجاه الألياف . أثبت العالم باقانو (9) إن نظرية الألواح الشرائحية الكلاسيكية (CLPT) تصبح أقل دقة كلما قلت نسبة طول الشرائح إلى سمكها . بالتحديد فإن تقديرات الانحراف باستخدام هذه النظرية تكون أقل بكثير من القيمة التحليلية لنسبة طول لوح إلى سمك أقل من 10 . هذه النسب المعيارية الحالية (معايير المرونة / معايير القص) جعلت نظرية الشرائح الكلاسيكية غير كافية لتحليل الألواح المركبة .

النظرية المستخدمة في هذا البحث تعرف بنظرية تشوه القص ذات الرتبة الأولى (FOSDT) حيث قام بتطويرها كل من يانق ، نوريس واستفاسكي (10) ، ويتني وبقانو (11) وقان ويريدي (12) . تقول هذه النظرية إن المستويات المستعرضة التي تكون في الأصل مستقيمة ومتعامدة مع منتصف مستوي اللوح تظل مستقيمة ولكن ليس بالضرورة متعامدة بعد التشوه ، ونتيجة لذلك يتم استخدام عوامل تصحيح للقص في هذه النظرية وذلك لضبط إجهاد القص المستعرض الذي يكون منتظماً خلال السمك .

1.4 أهداف الدراسة الحالية :

يتضمن العمل الحالي دراسة شاملة ومستفيضة للأهداف التالية التي تم تحقيقها خلال هذه الدراسة :-

1- مسح لنظريات الألواح المختلفة والتقنيات المستخدمة لتقدير استجابة الألواح الشرائحية للتحميل العرضي الساكن .

12 تطوير نموذج رياضي قادر على تقدير التشوهات في لوح شرائحي يتم فيه اعتبار تشوه القص .

13 تطوير وتطبيق تقنية الاسترخاء الديناميكي (DR) لتحليل الألواح الشرائحية المستطيلة المسطحة عليها حمل عرضي منتظم .

14 التحقق من دقة النموذج الرياضي من خلال طيف واسع من المقارنات النظرية .

15 دراسة بعض العوامل المؤثرة في انحراف الألواح الشرائحية .

الفصل الثاني

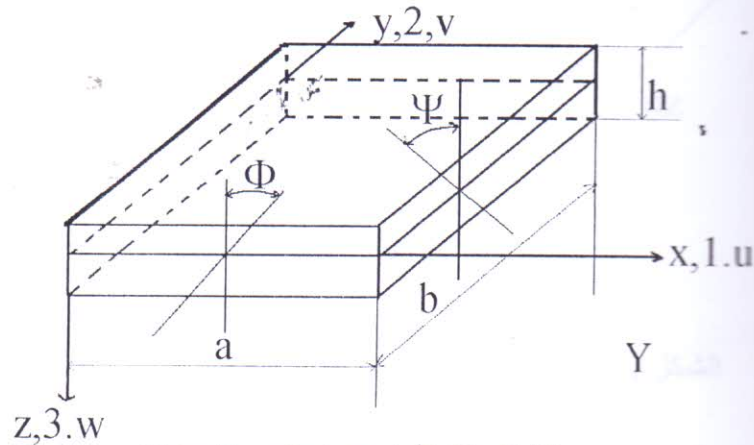
2.0 النماذج الرياضية للألواح

هناك نظريتان رئيستان للألواح تعتمدان على مقدار التشوه الناتج من تحميل اللوح وهاتان تعرفان بنظريتي الألواح الخطية واللاخطية . يكون الفرق بين هاتين النظريتين في التشوهات الناتجة ، حيث تكون التشوهات صغيرة في النظرية الخطية بينما تكون كبيرة في النظرية اللاخطية .

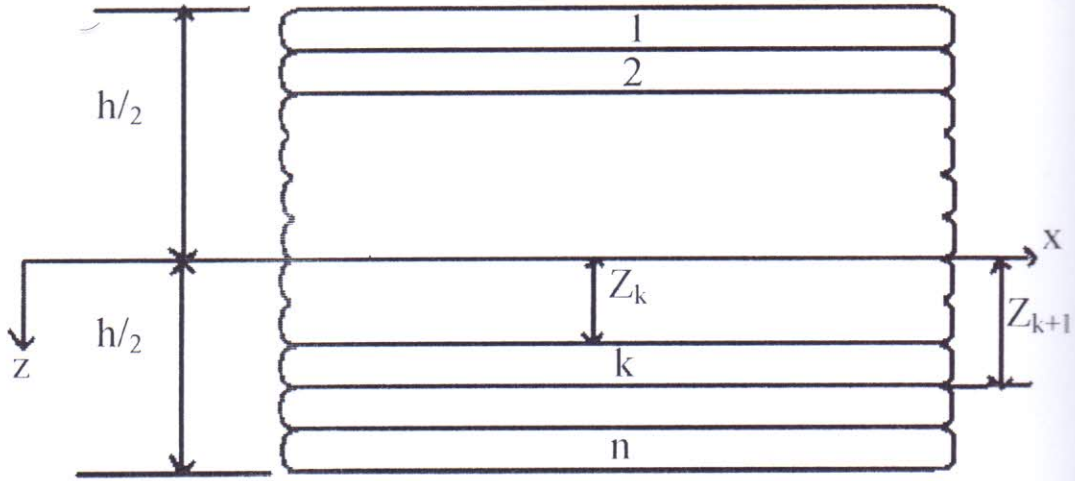
2.1 نظرية الخطية (Linear theory) :

2.1.1 افتراضات (Assumptions) :

1. اللوح الموضح في الشكل (2.1) يتكون من عدد عشوائي من الطبقات متعامدة الخواص مرتبطة ببعضها كما موضح في الشكل رقم (2.2) .
2. تكون الإزاحات w, v, u صغيرة مقارنة بسمك اللوح .
3. الإزاحات في المستوي v, u هي دوال خطية للأحداث x, y, z .
4. يطبق اللوح قانون هوك .
5. يكون اللوح مستوياً وبسمك منتظم .
6. يتم إهمال قوى التناقل .
7. يكون الإجهاد العمودي المستعرض صغير مقارنة بالإجهادات الأخرى وبالتالي يتم تجاهله .



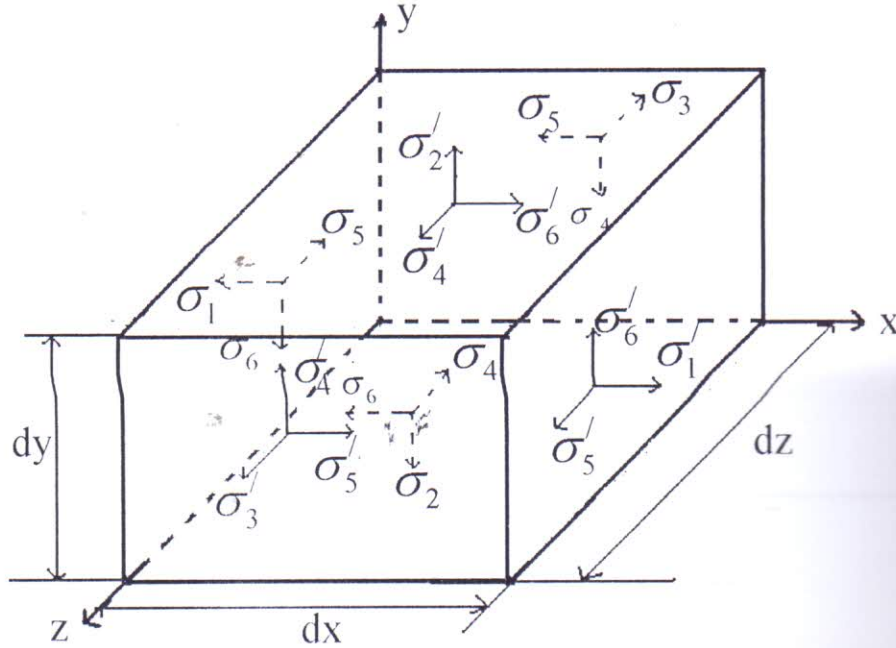
الشكل (2.1) لوح بأبعاده وتشوّهاته



شكل (2.2) الشكل الهندسي لشرائح مكونة من عدد n من الطبقات

2.1.2 معادلات الاتزان (Equations of Equilibrium) :

تتفاوت الاجهادات خلال أي جسم من نقطة إلى أخرى . تعرف المعادلات الحاكمة لتوزيع الإجهادات بمعادلات الاتزان . اعتبر حالة الاتزان السكوني لجسيم متناهي في الدقة بجوانب موازية لمستويات الإحداثيات يتم توضيح محصلة الإجهادات التي تعمل على الاسطح المختلفة في الشكل (2.3) أدناه. يتطلب اتزان هذا الجسيم تلاشي محصلات القوى والعزوم .



الشكل (2.3) الاجهادات العاملة على عنصر متناهي في الدقة

حيث شرط العلوية مثل σ_1 لاجهاد بزيادة صغيرة c.g.

$$\sigma_1 = \sigma_1 + \frac{\delta\sigma_1}{\delta x} dx$$

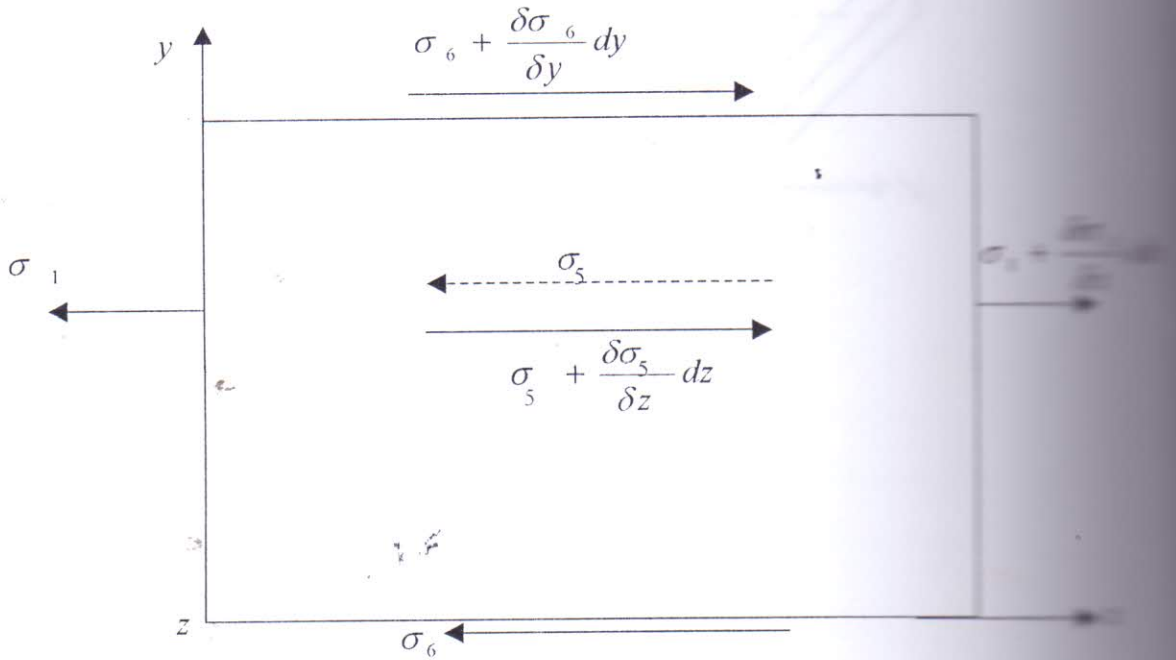
القوة في اتجاه X يتم توضيحها في الشكل (2.4) مجموع هذه القوى يعطي بالمعادلة التالية

$$\frac{\delta\sigma_1}{\delta x} + \frac{\delta\sigma_6}{\delta y} + \frac{\delta\sigma_s}{\delta z} = 0 \longrightarrow (2.1)$$

تجميع القوى في اتجاهات z,y يتم الحصول على المعادلتين التاليتين :

$$\frac{\delta\sigma_6}{\delta x} + \frac{\delta\sigma_2}{\delta y} + \frac{\delta\sigma_4}{\delta z} = 0 \longrightarrow (2.2)$$

$$\frac{\delta\sigma_s}{\delta x} + \frac{\delta\sigma_4}{\delta y} + \frac{\delta\sigma_3}{\delta z} = 0 \longrightarrow (2.3)$$



الشكل (2.4) الاجهادات العاملة في اتجاه - x

لتسهيل التحليل يتم إدخال محصلات الإجهاد وازدواجات الإجهاد وتعريفها كالاتي :

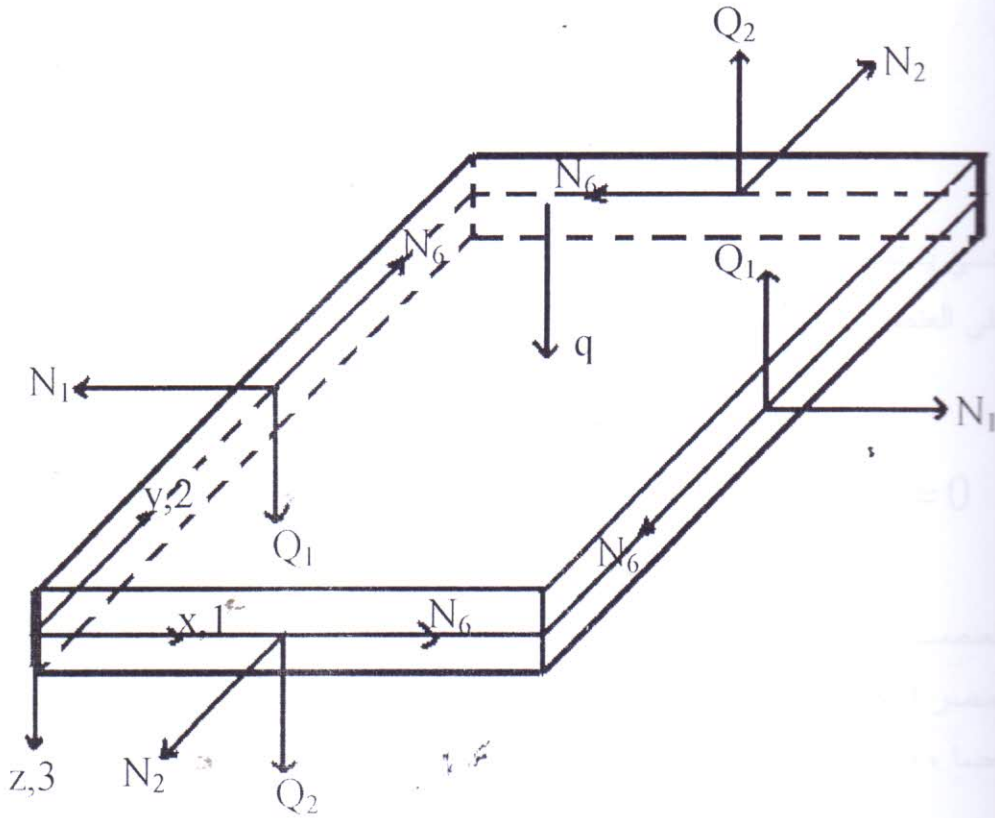
$$[N_i, M_i] = \sum_{k=1}^n \int_{z_k}^{z_{k+1}} \sigma_i [1, z] dz \quad (i = 1, 2, 6) \rightarrow (2.4)$$

$$[Q_1, Q_2] = \sum_{k=1}^n \int_{z_k}^{z_{k+1}} (\sigma_s, \sigma_4) dz \longrightarrow (2.5)$$

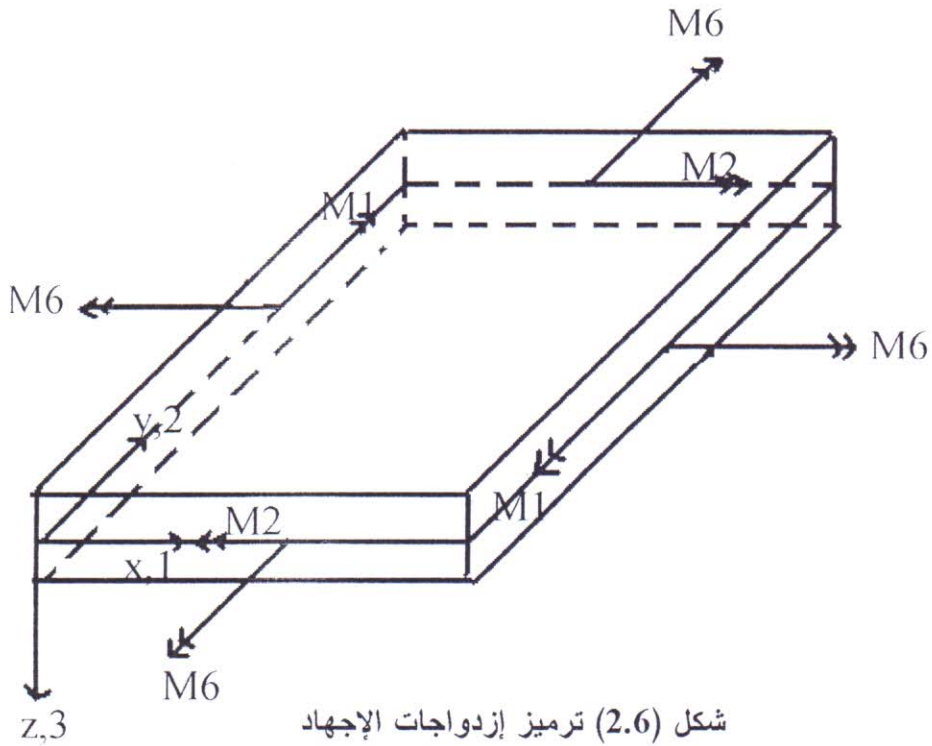
حيث Z_{k+1} و Z_k هي المسافات بين السطح العلوي والسطح السفلي للوح من مستوي نصف اللوح . يتم توضيح محصلات الإجهاد وإزدواجات الإجهاد بوضوح في الأشكال (2.5) و (2.6) على الترتيب .

عندما يتم تكامل المعادلة (2.1) عنصر بعنصر على امتداد كل شريحة والتجميع على امتداد سمك اللوح تصبح المعادلة كالآتي :

$$\sum_{k=1}^n \int_{z_k}^{z_{k+1}} \frac{\delta \sigma_1}{\delta x} dz + \sum_{k=1}^n \int_{z_k}^{z_{k+1}} \frac{\delta \sigma_6}{\delta y} dz + \sum_{k=1}^n \int_{z_k}^{z_{k+1}} \frac{\delta \sigma_5}{\delta z} dz = 0$$



شكل (2.5) ترميز محصلات الإجهاد



لكي يتم إدخال محصلات الإجهاد المعطاه في المعادلة (2.4) يمكن استبدال التجميع بالتفاضل في العنصرين الأولين .

$$\frac{\delta}{\delta x} \left[\sum_{k=1}^n \int_{z_k}^{z_{k+1}} \sigma_1 dz \right] + \frac{\delta}{\delta y} \left[\sum_{k=1}^n \int_{z_k}^{z_{k+1}} \sigma_6 dz \right] + \left[\sum_{k=1}^n \sigma_5 \right]_{z_k}^{z_{k+1}} = 0$$

العنصران الأول والثاني داخل الأقواس طبقاً للمعادلة (2.4) هما N_1 , N_6 على الترتيب بينما العنصر الأخير يجب أن يتلاشي لأن إجهادات القص عند نصفي اللوح العلوي والسفلي تلغي بعضها بعضاً ، ويتم افتراض ان السطح العلوي والسفلي باللوح خاليان من اجهاد القص .

المعادلة التكاملية الأولى للإتزان يمكن كتابتها بالصورة التالية :

$$\frac{\delta N_1}{\delta x} + \frac{\delta N_6}{\delta y} = 0 \longrightarrow (2.6)$$

بالمثل فإن المعادلات (2.2) و (2.3) يمكن تكاملها لإعطاء :

$$\frac{\delta N_6}{\delta x} + \frac{\delta N_2}{\delta y} = 0 \longrightarrow (2.7)$$

$$\frac{\delta Q_1}{\delta x} + \frac{\delta Q_2}{\delta y} + q = 0 \longrightarrow (2.8)$$

معادلات اتزان العزوم يمكن الحصول عليها بضرب المعادلة (2.1) في z وبالتكامل بالنسبة لـ z على امتداد سمك اللوح لإعطاء المعادلة التالية :

$$\sum_{k=1}^n \int_{z_k}^{z_{k+1}} \frac{\delta \sigma_1}{\delta x} z dz + \sum_{k=1}^n \int_{z_k}^{z_{k+1}} \frac{\delta \sigma_6}{\delta y} z dz + \sum_{k=1}^n \int_{z_k}^{z_{k+1}} \frac{\delta \sigma_5}{\delta z} z dz = 0$$

عندما يتم استبدال التكامل أو التجميع بالتفاضل وإدخال إزدواجات الإجهاد المعطاه في المعادلة (2.4) ، يصبح العنصران الأولان كالآتي :

$$\left(\frac{\delta M_1}{\delta x} + \frac{\delta M_6}{\delta y} \right)$$

والعصر الثالث يتم تكامله بالتجزئة كما يلي :

$$\sum_{k=1}^n \int_{z_k}^{z_{k+1}} \frac{\delta \sigma_5}{\delta z} z dz = \sum_{k=1}^n \int_{z_k}^{z_{k+1}} \left[[z \sigma_5]_{z_k}^{z_{k+1}} - \int_{z_k}^{z_{k+1}} \sigma_5 dz \right]$$

العصر الأول على جانب اليد اليميني للمعادلة عاليه يمثل العزوم لجميع الاجهادات بين الشرائح التي يلغى بعضه بعضاً . العصر الأخير طبقاً للمعادلة (2.5) يكون مساوياً لـ $-Q_1$. عليه يمكن معادلة إتزان العزوم التكاملية كما يلي :

$$\frac{\delta M_1}{\delta x} + \frac{\delta M_6}{\delta y} - Q_1 = 0 \longrightarrow (2.9)$$

بمقارنة المعادلة (2.4) مع المعادلة (2.5) تعطي المعادلة التالية :

$$\frac{\delta M_6}{\delta x} + \frac{\delta M_2}{\delta y} - Q_2 = 0 \longrightarrow (2.10)$$

عليه فإن معادلات الإتزان للوح هي الخمس معادلات التالية من (2.6) إلى (2.10)

الشكل رقم (2.7) يوضح عنصراً صغيراً ABCD في الإحداثيات الكارتيزية y, x والذي يتواءم إلى $ABCD'$. يمكن وصف التشوهات بدلالات استطالات الخطوط وتشوهات الزوايا بين الخطوط. من الشكل (2.7) من الممكن كتابة تعبيرات لإنفعالات خطية و قصية كما يلي :

$$\epsilon_1 = \left\{ \frac{u + (\delta u / \delta x) dx - u}{dx} \right\} = \frac{\delta u}{\delta x} \longrightarrow (2.11)$$

$$\epsilon_2 = \frac{\delta u}{\delta y} \longrightarrow (2.12)$$

إذا كانت الزاوية θ صغيرة جداً ، بالتالي

$$\theta_x = \tan \theta_x = \frac{\delta v}{\delta x}$$

$$\theta_y = \tan \theta_y = \frac{\delta u}{\delta y}$$

عكس ، فإن إنفعال القص الذي هو التغير في الزاوية القائمة BAD يكون :

$$\epsilon_6 = \theta_x + \theta_y = \frac{\delta v}{\delta x} + \frac{\delta u}{\delta y} \longrightarrow (2.13)$$

كمسألة ذات بعد ثلاثي ، يمكن إضافة الانفعالات التالية :

$$\epsilon_3 = \frac{\delta w}{\delta z} \longrightarrow (2.14)$$

$$\epsilon_4 = \frac{\delta w}{\delta y} + \frac{\delta v}{\delta z} \longrightarrow (2.15)$$

$$\epsilon_5 = \frac{\delta w}{\delta x} + \frac{\delta u}{\delta z} \longrightarrow (2.16)$$

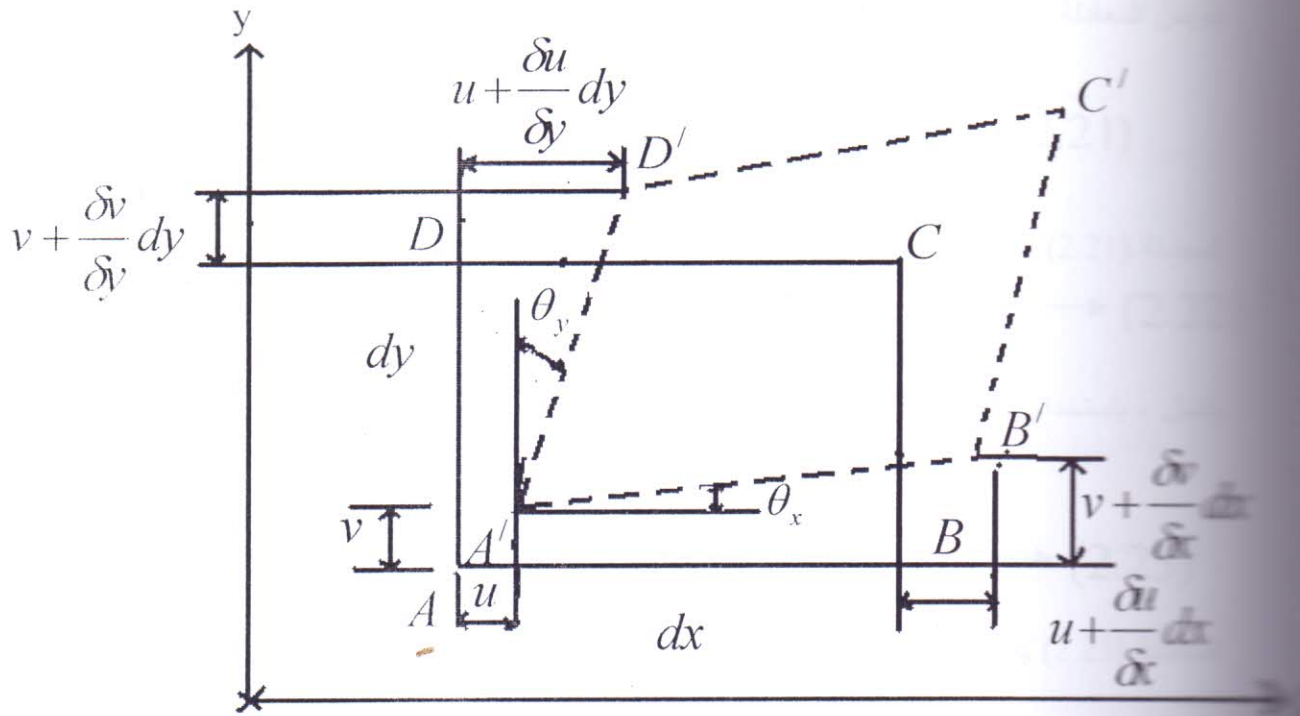
عن الإزاحات التي تتماشى مع الافتراض (3) كما يلي :

$$\left. \begin{aligned} u &= u^0(x, y) + z\Phi(x, y) \\ v &= v^0(x, y) + z\Psi(x, y) \\ w &= w^0(x, y) \end{aligned} \right\} \rightarrow (2.17)$$

حيث w^0, v^0, u^0 هي إزاحات السطح الوسطي للوح ، و Φ, Ψ هي دورانات خط
الأصل المتعامد مع مستوي منتصف اللوح .

عندما يتم تفاضل المعادلة (2.17) وتعويضها في المعادلات (2.11 – 2.16) يتم الحصول
على علاقات الانفعال – الإزاحة التالية :

$$\left. \begin{aligned} \varepsilon_1 &= \frac{\delta u^0}{\delta x} + z \frac{\delta \Phi}{\delta x} \\ \varepsilon_2 &= \frac{\delta v^0}{\delta y} + z \frac{\delta \Psi}{\delta y} \\ \varepsilon_6 &= \frac{\delta u^0}{\delta y} + \frac{\delta v^0}{\delta x} + z \left\{ \frac{\delta \Phi}{\delta y} + \frac{\delta \Psi}{\delta x} \right\} \\ \varepsilon_4 &= \frac{\delta w}{\delta y} + \Psi \\ \varepsilon_5 &= \frac{\delta w}{\delta x} + \Phi \end{aligned} \right\} \rightarrow (2.18)$$



شكل (2.7) تشوهات صغيرة لعنصر مرن

2.1.4 معادلات التكوين (The Constitutive Equations) :

معادلات التكوين للوح تكون على الصورة التالية :

$$\sigma_i = C_{ij} \varepsilon_j \quad (i, j = 1, 2, 6) \quad \rightarrow (2.19)$$

حيث σ_i و ε_j هي الاجهادات والانفعالات في اللوح بالمرجعية إلى محاور اللوح . مستخدماً

$$\varepsilon_i = \varepsilon_i^0 + z \chi_i^0 \quad (i=1, 2, 6) \quad \text{الصورة (2.18) بالصورة}$$

$$\varepsilon_6^0 = \frac{\delta u^0}{\delta y} + \frac{\delta v^0}{\delta x}, \quad \varepsilon_2^0 = \frac{\delta v^0}{\delta y}, \quad \varepsilon_1^0 = \frac{\delta u^0}{\delta x}$$

$$\chi_6^0 = \frac{\delta \Phi}{\delta y} + \frac{\delta \Psi}{\delta x}, \quad \chi_2^0 = \frac{\delta \Psi}{\delta y}, \quad \chi_1^0 = \frac{\delta \Phi}{\delta x}$$

بالتعويض في المعادلة (2.19) تصبح كالاتي :

$$\sigma_i = C_{ij} (\varepsilon_j^0 + z \chi_j^0) \quad \rightarrow (2.20)$$

عوض المعادلة (2.20) في المعادلة (2.4) لاعطاء :

$$N_i = \sum_{k=1}^n \int_{z_k}^{z_{k+1}} C_{ij} (\varepsilon_j^0 + z \chi_j^0) dz \longrightarrow (2.21)$$

المعادلة (2.21) يمكن كتابتها بالصورة :

$$N_i = A_{ij} \varepsilon_j^0 + B_{ij} \chi_j^0 \quad (i = 1, 2, 6) \longrightarrow (2.22)$$

بمثل ، باستخدام المعادلة (2.20) في المعادلة (2.4) تعطي :

$$M_i = \sum_{k=1}^n \int_{z_k}^{z_{k+1}} C_{ij} (\varepsilon_j^0 + z \chi_j^0) z dz \longrightarrow (2.23)$$

المعادلة (2.23) يمكن كتابتها بالصورة :

$$M_i = B_{ij} \varepsilon_j^0 + D_{ij} \chi_j^0 \quad (i = 1, 2, 6) \longrightarrow (2.24)$$

حيث A_{ij} ، B_{ij} ، D_{ij} ($i, j = 1, 2, 6$) هي على الترتيب جساءات الغشاء ، جساءات الازدواج وصاءات الانثناء للوح . جساءات الازدواج (B_{ij}) توضح الازدواج بين الانحاء المستعرض والانتطالة في المستوي . سيتلاشي الازدواج عندما يؤخذ مستوي المرجعية عند مستوي منتصف الوح . يتم حساب الجساءات كما يلي :

$$(A_{ij}, B_{ij}, D_{ij}) = \sum_{k=1}^n \int_{z_k}^{z_{k+1}} C_{ij} (1, z, z^2) dz \longrightarrow (2.25)$$

بمثل ، فإن معادلات التكوين يمكن تمثيلها بالصورة :

$$\begin{Bmatrix} N_i \\ M_i \end{Bmatrix} = \begin{Bmatrix} A_{ij} \\ B_{ij} \end{Bmatrix} \begin{Bmatrix} \varepsilon_j^0 \\ \chi_j^0 \end{Bmatrix} \longrightarrow (2.26)$$

$$\begin{Bmatrix} Q_2 \\ Q_1 \end{Bmatrix} = \begin{Bmatrix} A_{44} \\ A_{45} \end{Bmatrix} \begin{Bmatrix} \varepsilon_4 \\ \varepsilon_5 \end{Bmatrix} \longrightarrow (2.27)$$

2.1.5 الشروط الحدودية (Boundary Conditions) :

الشروط الحدودية المناسبة هي تلك التي تكون كافية لضمان حل وحيد للمعادلات الحاكمة .
لتحقيق ذلكم الهدف ، فإن عنصراً واحداً من الأزواج الخمس للعناصر التالية يجب وصفها على
طول الحدود

$$u, v \text{ or } N \quad ; \quad w \text{ or } Q \quad ; \quad \Phi, \Psi \text{ or } M \quad \longrightarrow \quad (2.28)$$

2.2 النظرية اللاخطية (Non - Linear theory) :

2.2.1 افتراضات النظرية :

يتم أخذ نفس الافتراضات كما في النظرية الخطية باستثناء الافتراض الذي يهتم بمقدار
التشوهات . في النظرية اللاخطية تكون الإزاحات في المستوي كما في النظرية الخطية صغيرة
مقارنة مع سمك اللوح بينما تكون الإزاحات خارج المستوي كبيرة .

2.2.2 معادلات الإيزان :

يتم اشتقاقها كما في المرجع { 7 } وهي نفس المعادلات (2.6) ، (2.7) ، (2.9) ، (2.10)
باستثناء المعادلة (2.8) والتي تكتب كالاتي :

$$N_1 \frac{\delta^2 w}{\delta x^2} + 2N_6 \frac{\delta^2 w}{\delta x \delta y} + N_2 \frac{\delta^2 w}{\delta y^2} + \frac{\delta Q_1}{\delta x} + \frac{\delta Q_2}{\delta y} + q = 0 \longrightarrow (2.29)$$

2.2.3 معادلات الانفعال – الإزاحة :

تكون الإزاحات في المستوي u ، v ، صغيرة بينما يكون الانحراف w مساوياً لنصف
سمك اللوح أو أكبر .

يتم كتابة المعادلات كما يلي :

$$\left. \begin{aligned} \varepsilon_1 &= \frac{\delta u^0}{\delta x} + \frac{1}{2} \left(\frac{\delta w}{\delta x} \right)^2 + Z \frac{\delta \Phi}{\delta x} \\ \varepsilon_2 &= \frac{\delta v^0}{\delta y} + \frac{1}{2} \left(\frac{\delta w}{\delta y} \right)^2 + Z \frac{\delta \Psi}{\delta y} \\ \varepsilon_6 &= \frac{\delta u^0}{\delta y} + \frac{\delta v^0}{\delta x} + \frac{\delta w}{\delta x} \cdot \frac{\delta w}{\delta y} + Z \left(\frac{\delta \Phi}{\delta y} + \frac{\delta \Psi}{\delta x} \right) \\ \varepsilon_4 &= \frac{\delta w}{\delta y} + \Psi \\ \varepsilon_5 &= \frac{\delta w}{\delta y} + \Phi \end{aligned} \right\} \rightarrow (2.30)$$

2.2.4 معادلات التكوين :

هي نفس المعادلات (2.26) و (2.27) كما ورد في المقطع 2.1.4 .

2.2.5 الشروط الحدودية :

هي نفس المعادلة (2.28) الموصوفة في المقطع 2.1.5 .

2.3 معادلات التحويل :

2.3.1 تحويل الإجهادات والانفعالات :

عصر نظام إحداثي يتم تدويره ضد اتجاه عقارب الساعة خلال زاوية مقدارها θ ، يتم ترميز المحاور التي يتم تدويرها بـ $1'$ و $2'$ كما في الشكل رقم (2.7) أدناه . اعتبر إتزان العنصر الصغير الموضح ABC . بتحليل القوى في اتجاه موازي للمحور $1'$ [تعطي:

$$\sigma_1' ds = \sigma_1 dy \cos \theta + \sigma_2 dx \sin \theta + \sigma_6 dx \cos \theta + \sigma_6 dy \sin \theta \rightarrow (2.31)$$

بمطابقة ترتيب المعادلة عاليه يتم تخفيضها إلى :

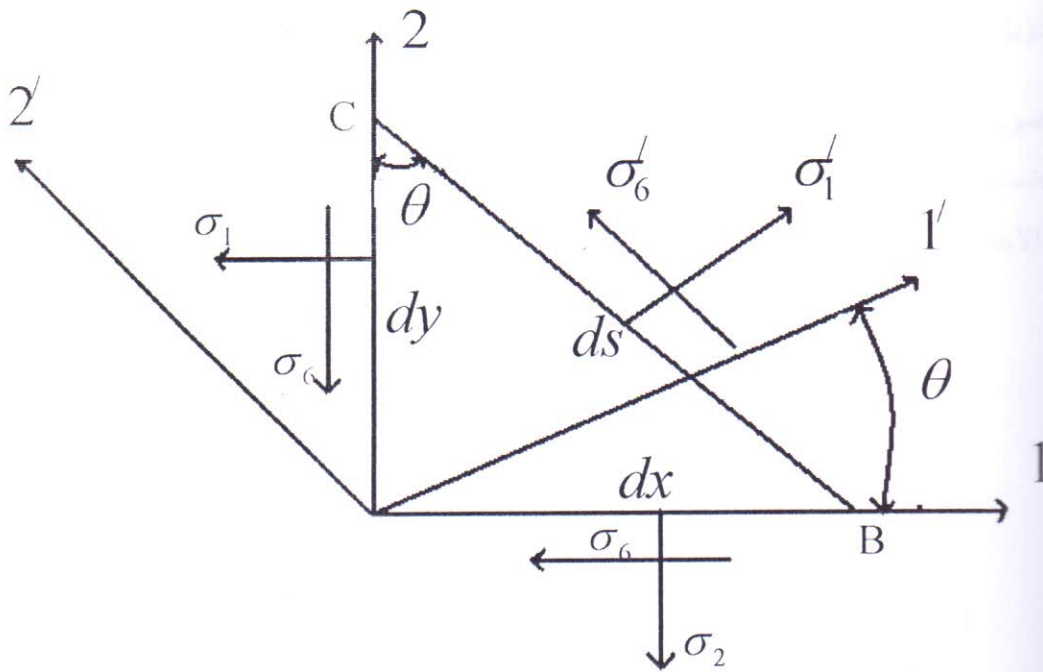
$$\sigma_1' = \sigma_1 \cos^2 \theta + \sigma_6 \sin^2 \theta + 2\sigma_6 \sin \theta \cos \theta \rightarrow (2.32)$$

تحليل القوى في اتجاه مواز للمحور $2'$ تعطي :

$$\sigma_1' ds = -\sigma_1 dy \sin \theta + \sigma_2 dx \cos \theta + \sigma_6 dy \cos \theta - \sigma_6 dx \sin \theta \rightarrow (2.33)$$

هذه يمكن كتابتها بالصورة :

$$\sigma_6' = -\sigma_1 \sin \theta \cos \theta + \sigma_2 \sin \theta \cos \theta + \sigma_6 (\cos^2 \theta - \sin^2 \theta) \rightarrow (2.34)$$



شكل رقم (2.7) الاجهادات الواقعة على عنصر مثلثي

يتم تطبيق نفس الأسلوب للحصول على الاجهادات المحولة الأخرى والتي يمكن كتابتها في

شكل مصفوفة كالآتي :

$$\{\sigma_i'\} = \{M\} \{\sigma_i\} \rightarrow (2.35)$$

حيث $\{M\} =$

m^2	n^2	0	0	0	2mm
n^2	m^2	0	0	0	-2mm
0	0	1	0	0	0
0	0	0	m	-n	0
0	0	0	n	m	0
-mn	mn	0	0	0	$(m^2 - n^2)$

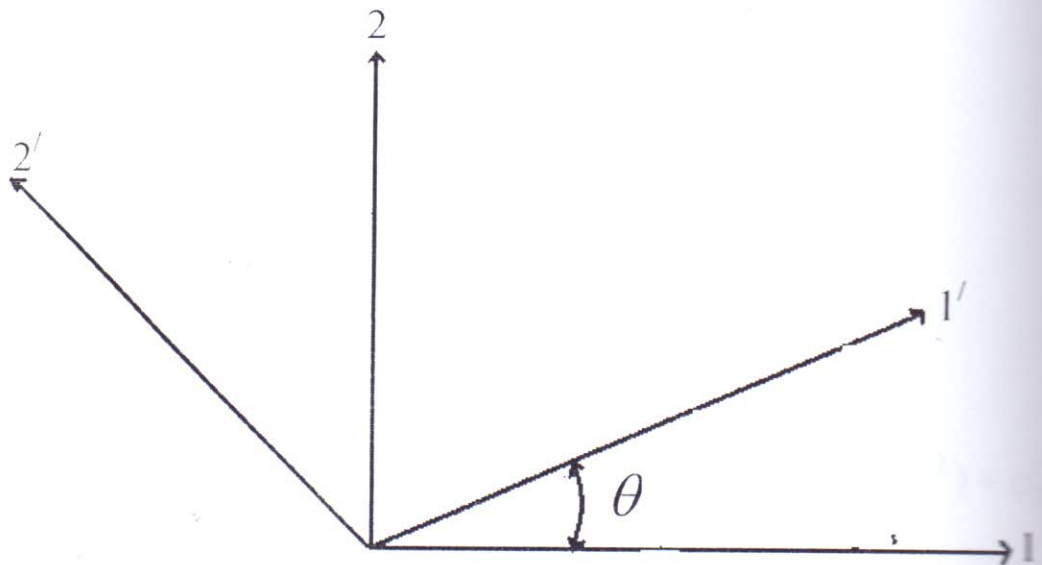
يتم تحويل الانفعالات كالآتي :

$$\{\epsilon_i'\} = \{N\} \{\epsilon_i\} \rightarrow (2.36)$$

$$\text{حيث } \{N\} = \begin{bmatrix} m^2 & n^2 & 0 & 0 & 0 & mn \\ n^2 & m^2 & 0 & 0 & 0 & -mn \\ 0 & 0 & 1 & 0 & 0 & 0 \\ 0 & 0 & 0 & m & -n & 0 \\ 0 & 0 & 0 & n & m & 0 \\ -2mn & 2mn & 0 & 0 & 0 & (m^2-n^2) \end{bmatrix}$$

2.3.3 تحويل المعايير المرنة :

عوماً فإن المحاور الرئيسية للمادة $(1', 2', 3')$ لا تكون محاذية للمحاور الهندسية $(1, 2, 3)$ كما موضح في الشكل رقم (2.8) أدناه . من الضروري إيجاد علاقة بين الاجهادات والانفعالات المضمنة الاحداثيين . هذا يتم إنجازه بضرب المعادلة (2.35) $[M]^{-1}$ كما يلي :



شكل (2.8) لوح متعامد الخواص

$$\{\sigma_i\} = \{M\}^{-1} \{\sigma'_i\} \longrightarrow (2.37)$$

عوض المعادلة $\sigma'_i = C'_{ij} \varepsilon'_j$ ($i, j = 1, 2, \dots, 6$) في المعادلة (2.37)

الوصول على :

$$\{\sigma_i\} = \{M\}^{-1} \{C'_{ij}\} \{\varepsilon'_i\} \longrightarrow (2.38)$$

بالتالي ، بتعويض المعادلة (2.36) في المعادلة (2.38)

$$\{\sigma_i\} = \{M\}^{-1} \{C'_{ij}\} \{N\} \{\varepsilon_i\} \longrightarrow (2.39)$$

هذه المعادلة يمكن كتابتها كما يلي :

$$\{\sigma_i\} = \{C_{ij}\} \{\varepsilon_i\} \longrightarrow (2.40)$$

حيث:

$$\{C_{ij}\} = \{M\}^{-1} \{N\} \{C'_{ij}\}$$

تعطي المعادلة (2.40) معادلة التكوين لشريحة متعامدة الخواص لا تنطبق فيها محاور المادة مع المحاور الهندسية . يتم إعطاء الثوابت C_{ij} كما يلي :

$$C_{11} = C'_{11}m^4 + 2m^2n^2(c'_{12} + 2c'_{66}) - 4mn(c'_{16}m^2 + c'_{26}n^2) + c'_{22}n^4$$

$$C_{12} = m^2n^2(c'_{11} + c'_{22} - 4c'_{66}) + 2mn(m^2 - n^2)(c'_{16} + c'_{26}) + (m^4 + n^4)c'_{12}$$

$$C_{13} = c'_{13}m^2 + c'_{23}n^2$$

$$C_{16} = m^2n^2 [c'_{11}m^2 - c'_{22}n^2 - (c'_{12} + 2c'_{66})(m^2 - n^2)] +$$

$$m^2(m^2 - 3n^2)c'_{16} + n^2(3m^2 - n^2)c'_{26}$$

$$C_{22} = c'_{11}n^4 + 2m^2n^2(c'_{12} + 2c'_{66}) + 4mn(c'_{26}m^2 + c'_{16}n^2) + c'_{22}m^4$$

$$C_{26} = m^2(m^2 - 3n^2)c'_{26} + mn [c'_{11}n^2 - c'_{22}m^2 + (c'_{12} + 2c'_{66})(m^2 - n^2)] +$$

$$+ n^2(3m^2 - n^2)c'_{16}$$

$$C_{33} = c'_{33}$$

$$C_{36} = (c'_{23} - c'_{13})mn$$

$$C_{44} = c'_{44}m^2 + 2mnc'_{45} + c'_{55}n^2$$

$$C_{45} = (m^2 - n^2)c'_{45} - mn(c'_{44} - c'_{55})$$

$$C_{55} = c'_{55}m^2 - 2mnc'_{45} + c'_{44}n^2$$

$$c_{66} = m^2 n^2 (c'_{11} + c'_{22} - 2c'_{12}) - 2mn(m^2 - n^2)(c'_{26} - c'_{16}) + (m^2 - n^2)c'_{66}$$

$$c_{14} = c_{15} = c_{24} = c_{25} = c_{34} = c_{35} = c_{46} = c_{56} = 0$$

$$m = \cos\theta \quad , \quad n = \sin\theta$$

الفصل الثالث

3.0 الاسلوب العددي المستخدم

في هذا البحث تم استخدام الفروقات المحددة مقترنة بالسلوب الاسترخاء الديناميكي (DR). تطبيق اسلوب الاسترخاء الديناميكي (DR) يتم تحويل المعادلات التفاضلية إلى معادلات ديناميكية إضافة عناصر الاخماد والقصور الذاتي. هذه بالتالي يتم التعبير عنها في شكل فروقات محددة ويتم الحصول على الحل بالسلوب التكرار كما سيتم توضيحه فيما يلي.

3.1 صياغة أسلوب الاسترخاء الديناميكي :

تبدأ صيغة الاسترخاء الديناميكي (DR) بالمعادلة الديناميكية التي يمكن كتابتها بالصورة

تالية :

$$f = \rho \frac{\delta^2 u}{\delta t^2} + k \frac{\delta u}{\delta t} \longrightarrow (3.1)$$

حيث f هي دالة لمحصلات الاجهاد أو الإزدواج ، u يرجع إليها كإزاحة وبالتالي فإن

$$\frac{\delta u}{\delta t} \text{ و } \frac{\delta^2 u}{\delta t^2} \text{ هما السرعة والتسارع على الترتيب .}$$

طبقاً لذلك فإن العنصر الأول والثاني على الطرف الأيمن للمعادلة (3.1) هما عناصر القصور الذاتي والاقماد على الترتيب . k, ρ هما معاملات القصور الذاتي والاقماد على الترتيب ، و t هو الزمن .

إذا كانت السرعات قبل وبعد الفترة Δt عند عقدة عشوائية في تقسيم الفروق المحددة يتم تمثيلها بـ $\left\{ \frac{\delta u}{\delta t} \right\}_{n-1}$ و $\left\{ \frac{\delta u}{\delta t} \right\}_n$ على الترتيب ، بالتالي باستخدام الفروقات المحددة بالزمن ، بتحديد قيمة الدالة عند $\left(n - \frac{1}{2} \right)$ من الممكن كتابة المعادلة (3.1) بالصورة :

$$f_{n-\frac{1}{2}} = \frac{\rho}{\Delta t} \left[\left\{ \frac{\delta u}{\delta t} \right\}_n - \left\{ \frac{\delta u}{\delta t} \right\}_{n-1} \right] + k \left\{ \frac{\delta u}{\delta t} \right\}_{n-\frac{1}{2}} \longrightarrow (3.2)$$

السرعة عند منتصف الفترة الزمنية $\left\{ \frac{\delta u}{\delta t} \right\}_{n-\frac{1}{2}}$

التي يمكن تقريبها بمتوسط السرعات قبل وبعد الفترة الزمنية Δt كالآتي :

$$\left\{ \frac{\delta u}{\delta t} \right\}_{n-\frac{1}{2}} = \frac{1}{2} \left[\left\{ \frac{\delta u}{\delta t} \right\}_n + \left\{ \frac{\delta u}{\delta t} \right\}_{n-1} \right]$$

بالتالي فإن المعادلة (3.2) يمكن كتابتها كالآتي :

$$f_{n-\frac{1}{2}} = \frac{\rho}{\Delta t} \left[\left\{ \frac{\delta u}{\delta t} \right\}_n - \left\{ \frac{\delta u}{\delta t} \right\}_{n-1} \right] + \frac{k}{2} \left[\left\{ \frac{\delta u}{\delta t} \right\}_n + \left\{ \frac{\delta u}{\delta t} \right\}_{n-1} \right] \longrightarrow (3.3)$$

يمكن بالتالي ترتيب المعادلة (3.3) لاعطاء السرعة بعد الفترة الزمنية Δt كالآتي:

$$\left\{ \frac{\delta u}{\delta t} \right\}_n = (1+k^*)^{-1} \left[\frac{\Delta t}{\rho} f_{n-\frac{1}{2}} + (1-k^*) \left\{ \frac{\delta u}{\delta t} \right\}_{n-1} \right] \longrightarrow (3.4)$$

$$k^* = \frac{k\Delta t}{2\rho} \quad \text{حيث}$$

يمكن تحديد الإزاحات عند منتصف الفترة الزمنية التالية بتكامل السرعة ، بحيث أن :

$$u_{n+\frac{1}{2}} = u_{n-\frac{1}{2}} + \left\{ \frac{\delta u}{\delta t} \right\}_n \Delta t \longrightarrow (3.5)$$

الإجراء التكراري يبدأ عند زمن $t=0$ بجميع القيم الأولية للسرعات والإزاحات تكون مساوية لصفر أو أي قيمة مناسبة . في التكرار الأول ، يتم الحصول على السرعات من المعادلة (3.4) والإزاحات من المعادلة (3.5) . يتم بالتالي تطبيق الشروط الحدودية . تتبع التكرارات المتعاقبة نفس الخطوات حتى يتم الحصول على الدقة المطلوبة .

3.2 معادلات اللوح :

3.2.1 معادلات اللوح البعدية :

هذه المعادلات تم اشتقاقها في الفصل (2) وهي المعادلات (2.6) ، (2.7) ، (2.9) ، (2.10) ،

(2.29) .

يمكن كتابة معادلات اللوح لا بعدياً بالصورة التالية :

$$\begin{aligned} [x', y', b'] &= \frac{1}{a} [x, y, b], & h' &= \frac{h}{h} = 1, & w' &= \frac{w}{h} \\ [u', v'] &= \left(\frac{a}{h^2}\right) [u, v], & [\Phi', \Psi'] &= \left(\frac{a}{h}\right) [\Phi, \Psi] \\ \varepsilon'_i &= \left(\frac{a}{h}\right)^2 \varepsilon_i, & \chi'_i &= \left(\frac{a^2}{h}\right) \chi_i, & & (i = 1, 2, 6) \\ A'_{ij} &= \left(\frac{1}{E_2 h}\right) A_{ij}, & B'_{ij} &= \left(\frac{1}{E_2 h^2}\right) B_{ij} \\ D'_{ij} &= \left(\frac{1}{E_2 h^3}\right) D_{ij} & & (i = 1, 2, 6) \\ N'_i &= \left(\frac{a^2}{E_2 h^3}\right) N_i, & M'_i &= \left(\frac{a^2}{E_2 h^4}\right) M_i & & (i = 1, 2, 6) \\ D'_i &= \left(\frac{a}{E_2 h^2}\right) Q_i, (i = 1, 2), & q' &= \left(\frac{a^4}{E_2 h^4}\right) q \end{aligned}$$

بتعويض المعادلة (3.6) في المعادلات (2.6)، (2.7)، (2.9)، (2.10) و (2.29) يتم

الوصول على معادلات اللوح الديناميكية اللابعدية :

$$\frac{\delta N_1}{\delta x} + \frac{\delta N_6}{\delta y} = \rho_u \frac{\delta^2 u}{\delta t^2} + k_u \frac{\delta u}{\delta t} \longrightarrow (3.7)$$

$$\frac{\delta N_6}{\delta x} + \frac{\delta N_2}{\delta y} = \rho_v \frac{\delta^2 v}{\delta t^2} + k_v \frac{\delta v}{\delta t} \longrightarrow (3.8)$$

$$N_1 \frac{\delta^2 w}{\delta x^2} + 2N_6 \frac{\delta^2 w}{\delta x \delta y} + N_2 \frac{\delta^2 w}{\delta y^2} + \left(\frac{a}{n}\right)^2 \left[\frac{\delta Q_1}{\delta x} + \frac{\delta Q_2}{\delta y} \right] + q = \rho_w \frac{\delta^2 w}{\delta t^2} + k_w \frac{\delta w}{\delta t}$$

$$\frac{\delta M_1}{\delta x} + \frac{\delta M_6}{\delta y} - \left(\frac{a}{h}\right)^2 Q_1 = \rho_\Phi \frac{\delta^2 \Phi}{\delta t^2} + k_\Phi \frac{\delta \Phi}{\delta t} \longrightarrow (3.10)$$

$$\frac{\delta M_6}{\delta x} + \frac{\delta M_2}{\delta y} - \left(\frac{a}{h}\right)^2 Q_2 = \rho_\Psi \frac{\delta^2 \Psi}{\delta t^2} + k_\Psi \frac{\delta \Psi}{\delta t} \longrightarrow (3.11)$$

الخطوة التالية هي تحويل المعادلات التفاضلية إلى معادلات فروق محددة .

3.3 تقريب الفروقات المحددة :

3.3.1 دالة الاستكمال $F(x,y)$:

يمكن التوضيح باستخدام متسلسلة تايلور ان المشتقات التفاضلية الأولى والثانية للدالة

$F(x,y)$ عند عقدة عشوائية i, j يمكن كتابتها بالصورة التالية :

$$\frac{\delta F}{\delta x}(i,j) = \frac{1}{2\Delta x} [F(i+1, j) - F(i-1, j)] \longrightarrow (3.12)$$

$$\frac{\delta^2 F}{\delta x^2}(i,j) = \frac{1}{\Delta x^2} [F(i+1, j) - 2F(i, j) + F(i-1, j)] \longrightarrow (3.13)$$

$$\frac{\delta^2 F}{\delta x \delta y}(i,j) = \frac{1}{4\Delta x \Delta y} [F(i+1, j+1) + F(i+1, j-1) - F(i-1, j+1) + F(i-1, j-1)] \longrightarrow (3.14)$$

أيضاً يمكن الحصول على $\frac{\delta F}{\delta y}(i,j)$ و $\frac{\delta^2 F}{\delta y^2}(i,j)$

3.4 شكل الفروقات المحددة لمعادلات اللوح :

3.4.1 معادلات السرعة :

طبقاً للمعادلة (3.4) ومن معادلات الحركة للوح { المعادلات (3.7) الي (3.11) } يتم

تحديد السرعات كما يلي :

$$\frac{du}{dt}(i,j) = (1 + k_u^*)^{-1} \left[(1 - k_u^*) \frac{du}{dt}(i,j) + \frac{\Delta t}{\rho_u(i,j)} F_1(i,j) \right] \longrightarrow (3.15)$$

$$\frac{dv}{dt}(i,j) = (1 + k_v^*)^{-1} \left[(1 - k_v^*) \frac{dv}{dt}(i,j) + \frac{\Delta t}{\rho_v(i,j)} F_2(i,j) \right] \longrightarrow (3.16)$$

$$\frac{dw}{dt}(i, j) = (1 + k_w^*)^{-1} \left[(1 - k_w^*) \frac{dw}{dt}(i, j) + \frac{\Delta t}{\rho_w(i, j)} F_3(i, j) \right] \longrightarrow (3.17)$$

$$\frac{d\Phi}{dt}(i, j) = (1 + k_\phi^*)^{-1} \left[(1 - k_\phi^*) \frac{d\phi}{dt}(i, j) + \frac{\Delta t}{\rho_\phi(i, j)} F_4(i, j) \right] \longrightarrow (3.18)$$

$$\frac{d\Psi}{dt}(i, j) = (1 + k_\psi^*)^{-1} \left[(1 - k_\psi^*) \frac{d\Psi}{dt}(i, j) + \frac{\Delta t}{\rho_\psi(i, j)} F_5(i, j) \right] \longrightarrow (3.19)$$

$$\Psi, \Phi, w, v, u \text{ ويرمز لـ } f \text{ حيث } k_f^* = \frac{k_f \Delta t}{2 \rho_f(i, j)}$$

في المعادلات (3.15) الي (3.19)، $F_5(i, j)$ ، $F_4(i, j)$ ، $F_3(i, j)$ ، $F_2(i, j)$ ، $F_1(i, j)$ هي تقريبات القروق المحددة للعناصر الموجودة على جانب اليد اليسري للمعادلات الديناميكية { (3.7) الي (3.11) } ويمكن التعبير عنها كالاتي :

$$\begin{aligned} F_1(i, j) &= \frac{1}{2\Delta x} [N_1(i+1, j) - N_1(i-1, j)] + \frac{1}{2\Delta y} [N_6(i, j+1) - N_6(i, j-1)] \\ F_2(i, j) &= \frac{1}{2\Delta x} [N_6(i+1, j) - N_6(i-1, j)] + \frac{1}{2\Delta y} [N_2(i, j+1) - N_2(i, j-1)] \\ F_3(i, j) &= \frac{N_1(i, j)}{\Delta x^2} [w(i+1, j) - 2w(i, j)] + w(i-1, j) \\ &+ \frac{N_6(i, j)}{2\Delta x \Delta y} [w(i+1, j+1) - w(i+1, j-1)] - w(i-1, j+1) + w(i-1, j-1) \\ &+ \frac{N_2(i, j)}{\Delta y^2} [w(i, j+1) - 2w(i, j)] + w(i, j-1) \\ &+ \left(\frac{a}{h}\right)^2 \frac{1}{2\Delta y} [Q_1(i+1, j) - Q_1(i-1, j)] \\ &+ \left(\frac{a}{h}\right)^2 \frac{1}{2\Delta y} [Q_2(i, j+1) - Q_2(i, j-1)] + q(i, j) \end{aligned}$$

$$F_4(i, j) = \frac{1}{2\Delta x} [M_1(i+1, j) - M_1(i-1, j)] + \frac{1}{2\Delta y} [M_6(i, j+1) - M_6(i, j-1)] - \left(\frac{a}{h}\right)^2 Q_1(i, j)$$

$$F_5(i, j) = \frac{1}{2\Delta x} [M_6(i+1, j) - M_6(i-1, j)] + \frac{1}{2\Delta y} [M_2(i, j+1) - M_2(i, j-1)] - \left(\frac{a}{h}\right)^2 Q_2(i, j)$$

هذه المعادلات أعلاه هي (3.20)

3.4.2 معادلات الإزاحة :

يتم الحصول على الإزاحات باستخدام السرعات الموضحة في المعادلات (3.15) الي

(3.19) كما يلي :

$$f(i, j)_{n+\frac{1}{2}} = f(i, j)_{n-\frac{1}{2}} + \frac{df}{dt}(i, j)\Delta t \longrightarrow (3.21)$$

حيث f ترمز لـ Ψ, Φ, w, v, u

3.4.3 معادلات محصلات الإجهاد والإزدواج :

تقريبات الفروق المحددة لمحصلات الإجهاد وإزدواجات الإجهاد يمكن الحصول عليها من

المعادلتين (2.26) و (2.27) كما موضح أدناه :

$$N_1(i, j) = A_{11}\varepsilon_1^0 + A_{12}\varepsilon_2^0 + A_{16}\varepsilon_6^0 + B_{11}\chi_1^0 + B_{12}\chi_2^0 + B_{16}\chi_6^0 \rightarrow (3.22)$$

$$N_2(i, j) = A_{12}\varepsilon_1^0 + A_{22}\varepsilon_2^0 + A_{26}\varepsilon_6^0 + B_{12}\chi_1^0 + B_{22}\chi_2^0 + B_{26}\chi_6^0 \rightarrow (3.23)$$

$$N_6(i, j) = A_{16}\varepsilon_1^0 + A_{26}\varepsilon_2^0 + A_{66}\varepsilon_6^0 + B_{16}\chi_1^0 + B_{26}\chi_2^0 + B_{66}\chi_6^0 \rightarrow (3.24)$$

$$M_1(i, j) = B_{11}\varepsilon_1^0 + B_{12}\varepsilon_2^0 + B_{16}\varepsilon_6^0 + D_{11}\chi_1^0 + D_{12}\chi_2^0 + D_{16}\chi_6^0 \rightarrow (3.25)$$

$$M_2(i, j) = B_{12}\varepsilon_1^0 + B_{22}\varepsilon_2^0 + B_{26}\varepsilon_6^0 + D_{12}\chi_1^0 + D_{22}\chi_2^0 + D_{26}\chi_6^0 \rightarrow (3.26)$$

$$M_6(i, j) = B_{16}\varepsilon_1^0 + B_{26}\varepsilon_2^0 + B_{66}\varepsilon_6^0 + D_{16}\chi_1^0 + D_{26}\chi_2^0 + D_{66}\chi_6^0(i, j) \rightarrow (3.27)$$

$$Q_1(i, j) = A_{45} \varepsilon_4^0 + A_{55} \varepsilon_5^0 \quad \rightarrow (3.28)$$

$$Q_2(i, j) = A_{44} \varepsilon_4^0 + A_{45} \varepsilon_5^0 \quad \rightarrow (3.29)$$

3.5 خطوات اسلوب الاسترخاء الديناميكي التكرارية :

في اسلوب الاسترخاء الديناميكي يتم تحويل معادلات اللوح الساكنة إلى معادلات ديناميكية (المعادلات (3.7) إلى (3.11)) باضافة عناصر القصور الذاتي والاضماد اليها وبالتالي يمكن تنفيذ التكرارات بالترتيب التالي :

- 1/ أضببط جميع القيم الأولية للمتغيرات بصفر .
- 2/ أحسب السرعات من المعادلات (3.15 الى 3.19)
- 3/ أحسب الإزاحات من المعادلة (3.21) .
- 4/ طبق الشروط الحدودية المناسبة للإزاحات .
- 5/ أحسب محصلات الإجهاد وإزدواجات الإجهاد من المعادلات (3.22 الى 3.29)
- 6/ طبق الشروط الحدودية المناسبة لمحصلات الإجهاد وإزدواجات الإجهاد .
- 7/ أفحص تقارب الحل . إذا لم يتقارب الحل أعد الخطوات من 2 إلى 6 مرة أخرى .

3.6 الكثافات الوهمية :

الكثافات الوهمية المستخدمة في هذا البحث مأخوذة من المرجع {15} وهي تستخدم أساسا لتحسين تقارب الحسابات العددية .

الفصل الرابع

4.0 التحقق من صحة برنامج الحاسوب

تتم مقارنة نتائج الحاسوب مع نتائج مشابهة من مصادر أخرى وذلك بعمل طيف واسع من المقارنات للإنحرافات الصغيرة والكبيرة أثمرت عن نتائج جيدة وقريبة من تلك الحلول .

4.1 مقارنة الإنحرافات الصغيرة :

هنالك دراسات قليلة عن السلوك اللاخطي للألواح الشرائحية . الخواص المرنة للمواد المستخدمة في التحليلات يتم إعطاؤها في الجدول 4.1 أدناه .

الجدول 4.1 خواص المواد المستخدمة في مقارنات الألواح الشرائحية

المادة	E_1/E_2	G_{12}/E_2	G_{13}/E_2	G_{23}/E_2	V_{12}	SCF ($K_4^2 = K_5^2$)
I	25	0.5	0.5	0.2	0.25	5/6
II	15	0.43	0.43	0.358	0.3	5/6
III	40	0.5	0.5	0.5	0.25	5/6

الجدول رقم (A.1) يوضح مقارنة للإنحرافات الوسطية بين الدراسة الحالية وزنكور وآخرين {13} وليبراسكو وخدير {14} لشرائح بالترتيب ($0^0/90^0/0^0$) مسندة اسناداً بسيطاً ومصنوعة من المادة II حيث أظهرت النتائج الثلاث توافقاً جيداً خاصة عند زيادة نسبة السمك .

4.2 مقارنة الإنحرافات الكبيرة :

قدم بنتشا وريدي {4} نتائج لألواح مربعة غير متماثلة متوسطة السمك ($h/a=0.1$) . هذه النتائج تمت مقارنتها بنتائج البرنامج الحالي في الجداول (A.2) و (A.3) . الجدول (A.2) يوضح مقارنة لانحرافات منتصف اللوح للوح شرائحي ($0^0/45^0/-45^0/90^0$) باطراف مثبتته (CC) . وقد لوحظ أن النتائج الحالية تكون أكبر بقليل عن تلك للمرجع {4} . بينما في الجدول (A.3) تم عمل مقارنات بين الدراسة الحالية ونتائج المرجع {4} للإنحراف الوسطي لشرائح غير

متمثلة ذات طبقتين وذات 8 طبقات مصنوعة من المادة 1 . هذه الألواح مربعة ومثبته
الأطراف (CC) وسميكة ومحملة بانتظام . وقد وجد إختلافا طفيفا بين النتائج .

الفصل الخامس

5.0 دراسة بعض الحالات

بالاستناد إلى برنامج الاسترخاء الديناميكي (DR) الذي تم التحقق من صحته من خلال المقارنات في الفصل السابق تم عمل نتائج جديدة لألواح شرائحية محملة بانتظام ، حيث تم افتراض أن الألواح إما مسندة اسناداً بسيطاً (SS) أو مثبتة الأطراف (CC) .

وقد تمت دراسة أثر الحمل ، عدد الطبقات ، تباين خواص المادة ونسبة النطاق في الانحرافات الوسطية للوح .

المادة التي تم اختيارها تمتلك الخواص التالية :

$$V_{12}=0.3 , G_{12}=4.8265\text{KN/mm}^2 , E_2 = 9.653 \text{ KN/mm}^2 , E_1 = 137.9\text{KN/mm}^2$$

$$G_{12} = G_{13} = G_{23} \quad \text{وتم افتراض أن}$$

5.1 أثر الحمل :

تفاوتات الانحرافات الوسطية ، w_c بالنسبة للحمل q لألواح رقيقة ($h/a=0.02$) وسميكة ($h/a=0.2$) متشابهة الخواص ذات اسناد بسيط (SS) يتم اعطاؤها في الجدول (A.4) ، والشكل (B.1) . يلاحظ ان الانحرافات الوسطية للألواح الرقيقة والسميكة تزيد بزيادة الحمل المسلط ، وتكون انحرافات الألواح السميكة أكبر من تلك للألواح الرقيقة تحت نفس شروط التحميل . تقارب منحنيات الانحراف للألواح الرقيقة والسميكة يوضح أن أثر تشوه القص يتلاشي بزيادة الحمل .

5.2 أثر عدد الطبقات :

يوضح الشكل (B.2) مخطط للانحراف الإقصي للوح متوسط السمك ($h/a=0.1$) مربع غير متماثل مسند اسناداً بسيطاً (SS) تحت تأثير حمل موزع بانتظام لشريحتان وستة عشر شريحة $\left[\begin{matrix} 0^\circ \\ / \\ 90^\circ \end{matrix} \right]_n$ حيث ($n=1,8$) . يتم اعطاء القيم الرقمية في الجدول (A.5) . توضح النتائج أنه كلما زاد عدد الطبقات يصبح اللوح أكثر جساءة ويصبح الانحراف صغيراً . ينشأ هذا نتيجة لوجود أثر الإزدواج بين الإنحناء والإستطالة الذي عموماً يزيد جساءة اللوح كلما زاد عدد الطبقات

5.3 تباين خواص المادة :

يتم تحليل الانحرافات القصوي لشرائح ذات أربع طبقات ممتاثلة ($0^0 / 90^0 / 90^0 / 0^0$) مثبتة الأطراف (CC) في الجدول (A.6) والشكل (B.3) لدرجات متفاوتة من النسب المعيارية (E_1/E_2). يلاحظ إنه كلما قلت النسبة المعيارية فإن الانحراف يكون كبيراً والعكس بالعكس . يعزى هذا لتأثيرات تشوه القص التي تزيد بنقصان النسبة المعيارية.

5.4 أثر نسبة النطاق :

الجدول (A.7) وتبعاً لذلك الشكل (B.4) يوضحان التفاوتات في الانحراف الأقصى للوح شرائحي بالترتيب ($0^0 / 90^0$) مسند اسناداً بسيطاً (SS) بنسب نطاق متفاوتة وبالخواص ($h/a=0.1$, $q'=200$). يلاحظ أنه عندما تكون نسبة النطاق صغيرة يكون الإنحراف صغيراً وكلما زادت نسبة النطاق أكثر من 2.0 فإن الإنحراف يصبح مستقلاً عن نسبة النطاق .

المراجع

- 1/ ديفيد رويلانس ، مقدمة عن المواد المركبة ، شعبة علم المواد والهندسة ، معهد ماسوشيتس للتكنولوجيا ، كامبردج ، 2000 .
- 2/ فيرنون ب. جون ، مدخل للمواد الهندسية ، الطبعة الثانية ، 1972 .
- 3/ جان استيغمان ، مذكرات عن التحليل البنيوي للإنشاءات المركبة ، جامعة ألبرج ، الدنمارك ، 2001 .
- 4/ بتشا وريدي ، العناصر المحددة للتحليل اللاخطي للألواح الشرائحية ، مجلة الحواسيب والإنشاءات ، 1986 .
- 5/ ريسنر واستافسكي ، الانحناء والاستطالة لأنواع معينة من الألواح الغير متجانسة ، المجلة الدولية للمصمات والإنشاءات ، 1966 .
- 6/ اسرينيفاس وراو ، الانحناء والاهتزاز والانبعاج لألواح مستطيلة – سمكة متعامدة الخواص ، 1970 .
- 7/ تيرفي وثمان ، تحليل الانحراف الكبير المرن لألواح مستطيلة متشابهة الخواص ، المجلة الدولية للعلوم الميكانيكية ، 1990 .
- 8/ ريدي ، نظرية الرتبة العليا البسيطة للألواح الشرائحية المركبة ، مجلة الميكانيكا التطبيقية ، 1984 .
- 9/ باقانو ، الحلول المضبوطة للألواح المستطيلة المركبة ، مجلة المواد المركبة، 1970 .
- 10/ يانق ، نوريس واستافسكي ، نمو الموجات المرنة في الألواح غير المتجانسة ، المجلة الدولية للمصمات والإنشاءات ، 1966 .
- 11/ ويتني وبقانو ، تشوه القص في ألواح متباينة الخواص غير متجانسة ، مجلة الميكانيكا التطبيقية ، 1970 .
- 12/ فان وريدي ، تحليل الألواح الشرائحية المركبة باستخدام نظرية تشوه القص ذات الرتبة العليا ، المجلة الدولية للأسلوب العددي في الهندسة ، 1985 .

- /13 زكور وفارس ، استجابة الألواح الشرائحية المرنة غير المتجانسة باستخدام نظرية الرتبة العليا ، مجلة الإنشاءات المركبة ، 1999.
- /14 ليبراسكو وخدير ، تحليل الألواح الشرائحية المرنة المتماثلة باستخدام نظرية الرتبة العليا ، مجلة الإنشاءات المركبة ، 1986.
- /15 كاسيل وهوب ، الاستقرار الرقمي لتحليل الاسترخاء الديناميكي للبنيات اللاخطية ، المجلة الدولية للأساليب الرقمية في الهندسة ، 1966.

ملحق (A) - جداول

جدول (A.1) الانحرافات اللاخطية لشرائح بالترتيب $(0^0/90^0/0^0)$ مسنده اسناداً بسيطاً (SS) وتحت حمل منتظم ($q'=1.0$)

a/h	S	W'_c
2	1	0.0693
	2	0.0726
	3	0.0716
5	1	0.0224
	2	0.0232
	3	0.0235
10	1	0.0147
	2	0.0150
	3	0.0151
20	1	0.0127
	2	0.0128
	3	0.0128

(1) S : نتائج اسلوب DR الحالي

(2) S : نتائج ليبراسكو وخدير {14} .

(3) S : نتائج زنكور وآخرين {13}

جدول (A.2) مقارنة برنامج DR الحالي بالمرجع {4} للانحرافات الوسطية للوح شرائحي مربع بالترتيب $(0^0/45^0/-45^0/90^0)$ مثبت الأطراف (CC) ومصنوع من المادة III ومسلط عليه حمل منتظم ($h/a=0.1$)

q'	S	W'_c
50	1	0.19
	2	0.14
100	1	0.32
	2	0.27
150	1	0.42
	2	0.37
200	1	0.51
	2	0.46
250	1	0.57
	2	0.53

(1) S : نتائج اسلوب DR الحالي

(2) S : نتائج بتشا و ريدي {4} .

جدول (A.3) مقارنة برنامج DR الحالي بالمرجع {4} للوح مربع مثبت الأطراف غير متماثل بعدد 2 طبقة وثمانية طبقات بالترتيب {45/-45/...} مصنوع من المادة I ومسلط عليه حمل منتظم . ($h/a=0.1$) .

q'	S	$W'_c (n=2)$	$W'_c (n=8)$
50	1	0.2919	0.2033
	2	0.2400	0.2100
100	1	0.4727	0.3677
	2	0.3700	0.3800
150	1	0.5979	0.4945
	2	0.4600	0.5000
200	1	0.6950	0.5962
	2	0.5300	0.6000
250	1	0.7753	0.6812
	2	0.5800	0.6800

S (1) : نتائج اسلوب DR الحالي

S (2) : نتائج بتشا و ريدي {4} .

عدد الطبقات :

جدول (A.4) تفاوت الانحراف الوسطي w/c مع الحمل q' للأواح متشابهة الخواص رفيعة ($h/a=0.02$) وسميكة ($h/a=0.2$) ولشروط إسناد بسيط ($\nu=0.3$) (SS)

q'	W/c	
	$h/a=0.02$	$H/a=0.2$
20	0.5846	0.6159
40	0.8432	0.8626
60	1.0138	1.0262
80	1.1447	1.1526
100	1.2527	1.2573
120	1.3455	1.3478
140	1.4275	1.4279
160	1.5012	1.5001
180	1.5685	1.5662
200	1.6306	1.6274

جدول (A.5) تأثير عدد الطبقات على لوح مربع شرائحي غير متماثل بالترتيب $[(0^0/90^0)_n]$ مسند اسناداً بسيطاً (SS) وتحت تأثير حمل منتظم. ($h/a=0.1$)

q/	W'_c	
	$(0^0/90^0)$	$(0^0/90^0)_8$
20	0.2953	0.2232
40	0.4323	0.3702
60	0.5287	0.4727
80	0.6057	0.5517
100	0.6725	0.6165
120	0.7294	0.6718
140	0.7791	0.7202
160	0.8236	0.7636
180	0.8639	0.8029
200	0.9009	0.8390

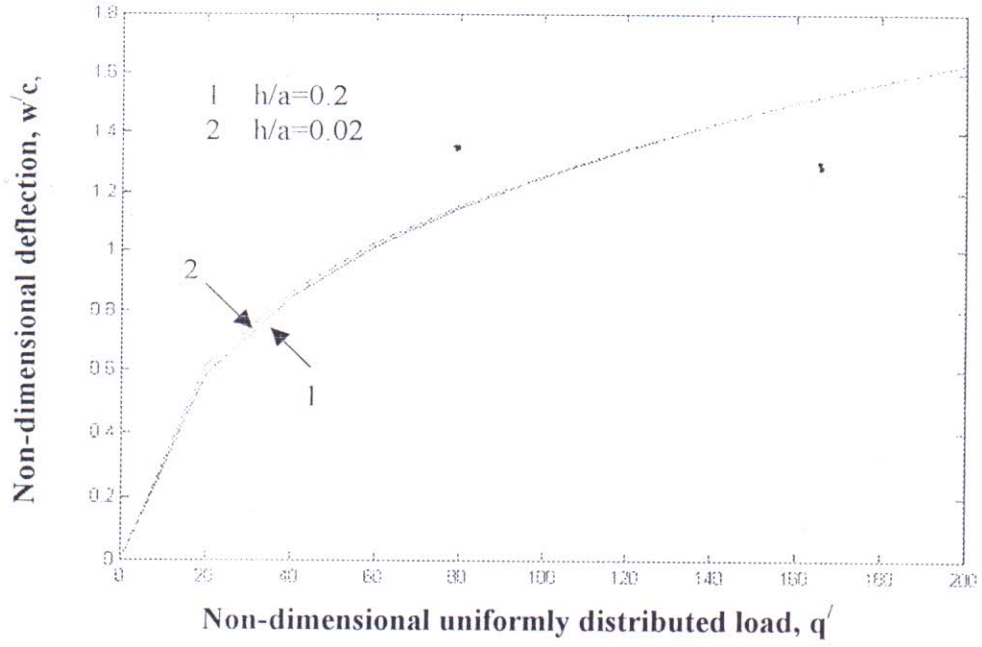
جدول (A.6) أثر تباين الخواص على الانحراف الوسطي للوح شرائحي مربع ذو أربعة طبقات بالترتيب $(0^0/90^0/90^0/0^0)$ مثبت الأطراف (CC) تحت تأثير حمل موزع بانتظام ($q'=100$, $h/a=0.1$):

E_1/E_2	$W'_c (0^0/90^0/90^0/0^0)$
2	0.8211
4	0.6574
6	0.5631
8	0.5015
10	0.4580
12	0.4254
14	0.4000
20	0.3485
25	0.3210
30	0.3010
35	0.2876
40	0.2732
45	0.2631
50	0.2545

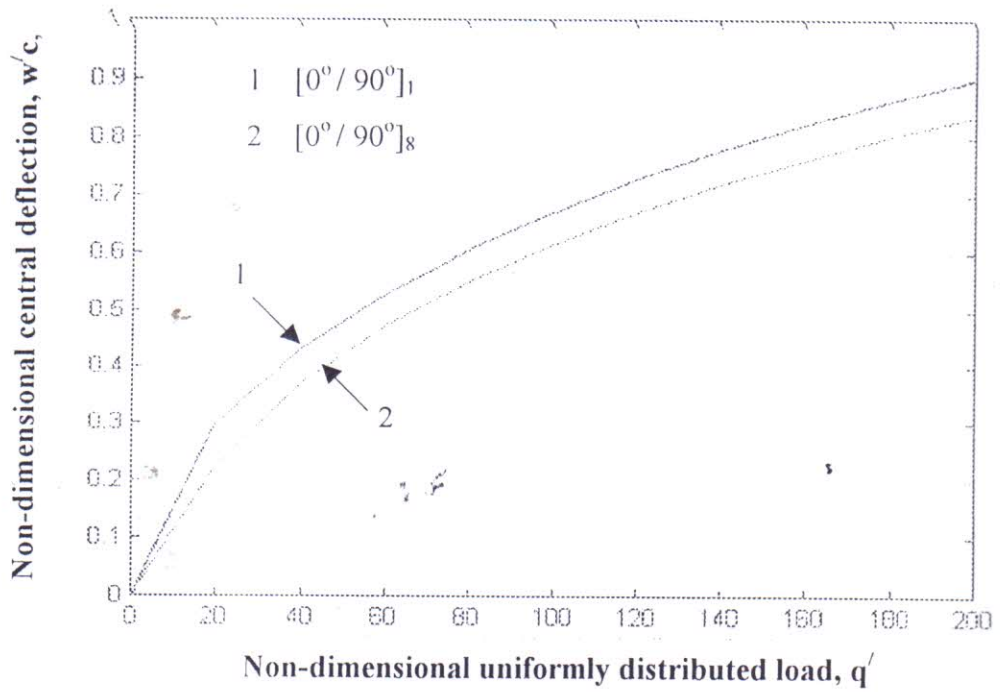
جدول رقم (٨.7) يوضح الانحراف الوسطي للوح مستطيل غير متمائل بالترتيب
 ($0^0/90^0$) مسند اسناد بسيط (SS) ومحمّل بانظام بنسب نطاق
 متفاوتة ($h/a=0.1, q'=200$)

b/a	W_c
5.00	1.3846
4.00	1.3848
3.00	1.3854
2.50	1.3838
2.00	1.3979
1.90	1.3594
1.80	1.3473
1.75	1.3395
1.70	1.3303
1.60	1.3067
1.55	1.2919
1.50	1.2745
1.45	1.2544
1.40	1.2311
1.35	1.2044
1.30	1.1740
1.25	1.1394
1.20	1.1006
1.00	0.9009

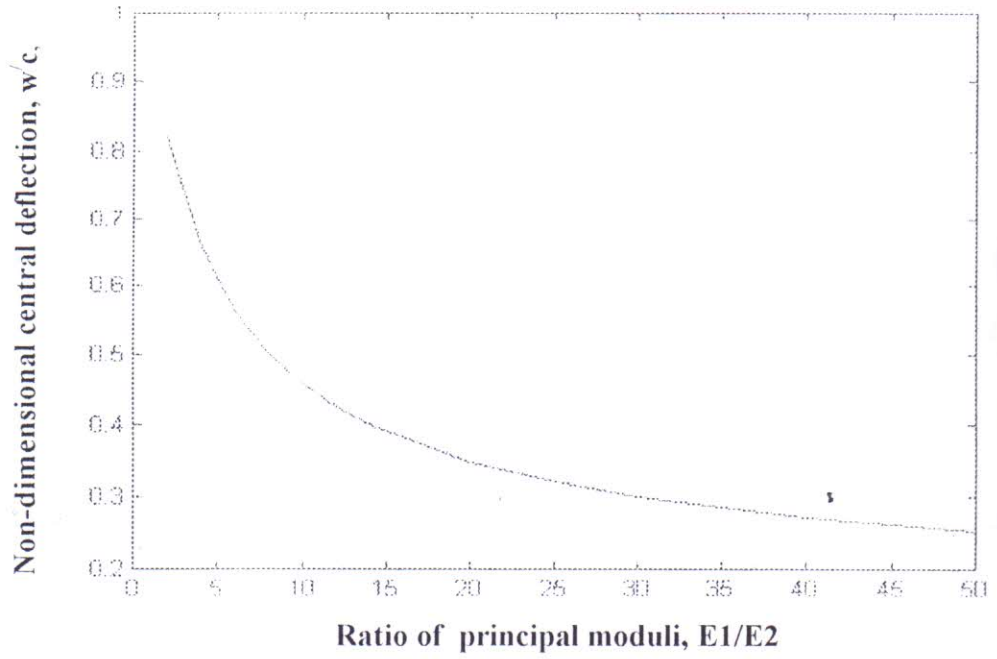
ملحق (B) - مخططات



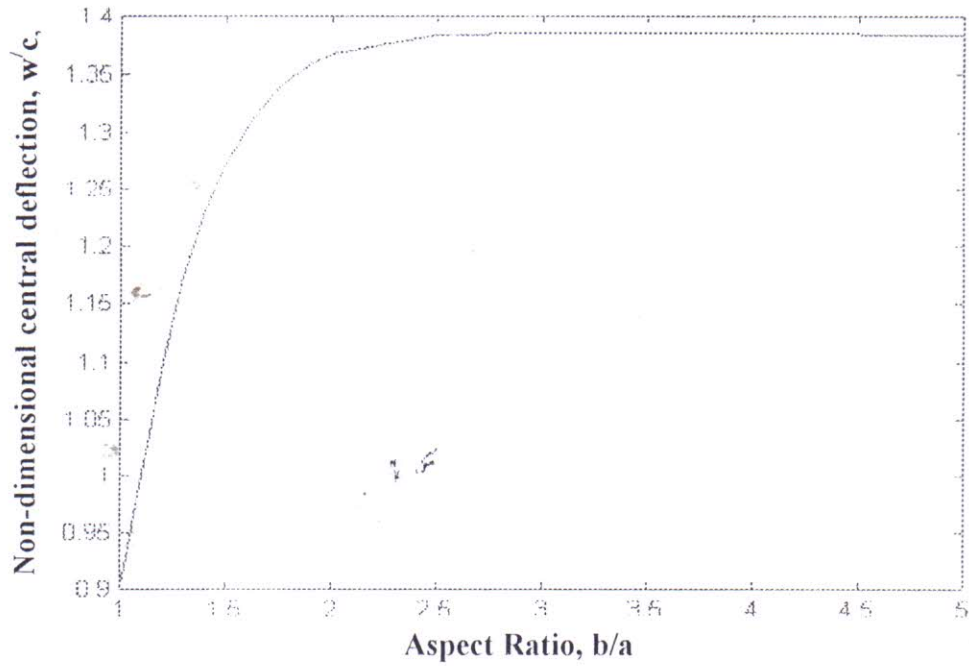
شكل B.1 تفاوت الإتحراف الوسطى w/c مع الحمل q' للوح مربع متشابه في الخواص رفيع ($h/a=0.02$) و سميك ($h/a=0.2$) مسند إسناداً بسيطاً (ss).



شكل B.2 أثر عدد الطبقات على لوح مربع غير متماثل بالترتيب $[(0^\circ/90^\circ)_n]$ مسند إسناداً بسيطاً (ss) وتحت حمل موزع بانتظام.

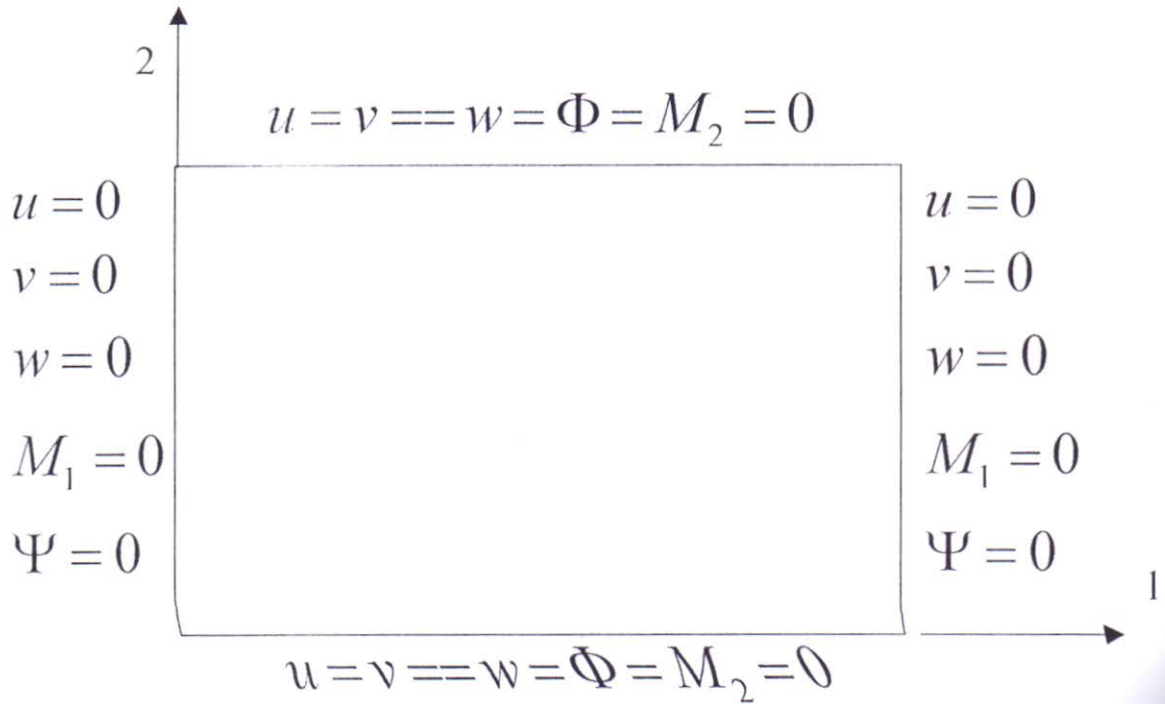


شكل B.3 أثر تفاوت خواص المادة على الإنحرافات الوسطية للوح شرائحي متمائل بالترتيب $[0^0/90^0/90^0/0^0]$ مثبت الأطراف وتحت حمل موزع بانتظام ($q=100$, $h/a=0.1$).

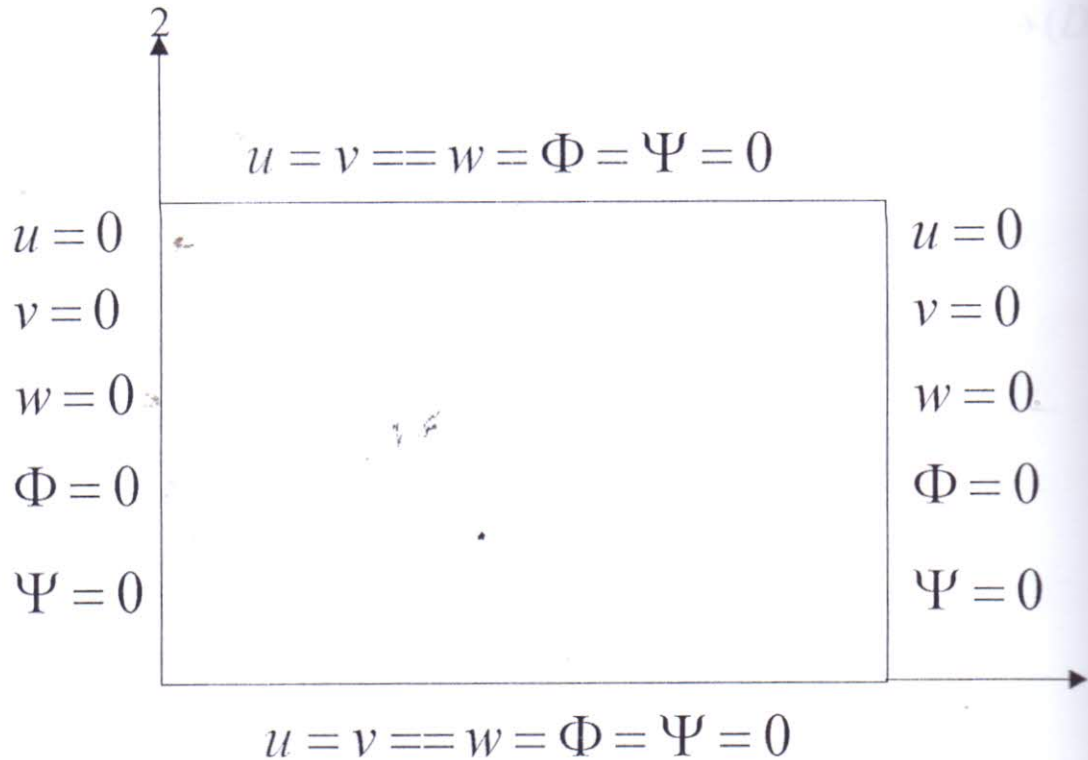


شكل B.4 الإنحراف الوسطي للوح مستطيل غير متمائل بالترتيب $[0^0/90^0]$ مسند إسناداً بسيطاً (ss) وتحت حمل منتظم بنسب نطاق متفاوتة ($q=200$, $h/a=0.1$).

ملحق (ع) - الشروط الحدودية



شكل C.1 الشروط الحدودية للإسناد البسيط (SS)



شكل C.2 الشروط الحدودية لتثبيت الأطراف (CC)

ملحق D – تقدير الكثافات الوهمية

الكثافات الوهمية التالية تم اشتقاقها باستخدام الخطوات التي اقترحها كاسيل {15}

$$\rho_u(i, j) = 0.25 \left[\frac{1}{2\Delta x} [N'_1(i+1, j) + N'_1(i-1, j)] + \frac{1}{2\Delta y} [N'_6(i, j+1) + N'_6(i, j-1)] \right] \rightarrow (D.1)$$

$$\rho_v(i, j) = 0.25 \left[\frac{1}{2\Delta x} [N'_6(i+1, j) + N'_6(i-1, j)] + \frac{1}{2\Delta y} [N'_2(i, j+1) + N'_2(i, j-1)] \right] \rightarrow (D.2)$$

$$\begin{aligned} \rho_w(i, j) = 0.25 & \left[\left(\frac{a}{h} \right)^2 + \left(\frac{Q'_1}{\Delta x} + \frac{Q'_2}{\Delta y} \right) + \frac{4}{\Delta y^2} |N_2(i, j)| + \frac{4}{\Delta x^2} |N_1(i, j)| \right] \\ & + \frac{2}{\Delta x \Delta y} |N_6(i, j)| + \frac{N'_1(i, j)}{\Delta x^2} |w(i+1, j) - 2w(i, j) + w(i-1, j)| \\ & + \frac{N'_2(i, j)}{\Delta y^2} |w(i, j+1) - 2w(i, j) + w(i, j-1)| \\ & + \frac{N'_6(i, j)}{2\Delta x \Delta y} |w(i+1, j+1) - w(i-1, j+1) + w(i-1, j-1) - w(i+1, j-1)| \rightarrow (D.3) \end{aligned}$$

$$\begin{aligned} \rho_\phi(i, j) = 0.25 & \left\{ \frac{1}{2\Delta x} [M'_1(i+1, j) + M'_1(i-1, j)] \right\} \\ & + \frac{1}{2\Delta y} [M'_6(i, j+1) + M'_6(i, j-1)] + \left(\frac{a}{h} \right)^2 Q'_1(i, j) \rightarrow (D.4) \end{aligned}$$

$$\begin{aligned} \rho_\psi(i, j) = 0.25 & \left\{ \frac{1}{2\Delta x} [M'_6(i+1, j) + M'_6(i-1, j)] \right\} \\ & + \frac{1}{2\Delta y} [M'_2(i, j+1) + M'_2(i, j-1)] + \left(\frac{a}{h} \right)^2 Q'_2(i, j) \rightarrow (D.5) \end{aligned}$$

$$N'_1(i, j) = \frac{1}{\Delta x}(A_{11} + A_{16}) + \frac{1}{\Delta y}(A_{12} + A_{16}) + \frac{4}{\Delta x^2}B_{11} +$$

$$\frac{4}{\Delta y^2}B_{12} + \frac{2}{\Delta x \Delta y}B_{16} + A_{11}L_1 + A_{12}L_2 + A_{16}L_3$$

$$N'_2(i, j) = \frac{1}{\Delta x}(A_{12} + A_{26}) + \frac{1}{\Delta y}(A_{22} + A_{26}) + \frac{4}{\Delta x^2}B_{12} +$$

$$\frac{4}{\Delta y^2}B_{22} + \frac{2}{\Delta x \Delta y}B_{26} + A_{12}L_1 + A_{22}L_2 + A_{26}L_3$$

$$N'_6(i, j) = \frac{1}{\Delta x}(A_{16} + A_{66}) + \frac{1}{\Delta y}(A_{26} + A_{66}) + \frac{4}{\Delta x^2}B_{16} +$$

$$\frac{4}{\Delta y^2}B_{26} + \frac{2}{\Delta x \Delta y}B_{66} + A_{16}L_1 + A_{26}L_2 + A_{66}L_3$$

$$M'_1(i, j) = \frac{1}{\Delta x}(B_{11} + B_{16}) + \frac{1}{\Delta y}(B_{12} + B_{16}) + \frac{4}{\Delta x^2}D_{11} +$$

$$\frac{4}{\Delta y^2}D_{12} + \frac{2}{\Delta x \Delta y}D_{16} + B_{11}L_1 + B_{12}L_2 + B_{16}L_3$$

$$M'_2(i, j) = \frac{1}{\Delta x}(B_{12} + B_{26}) + \frac{1}{\Delta y}(B_{22} + B_{26}) + \frac{4}{\Delta x^2}D_{12} +$$

$$\frac{4}{\Delta y^2}D_{22} + \frac{2}{\Delta x \Delta y}D_{26} + B_{12}L_1 + B_{22}L_2 + B_{26}L_3$$

$$M'_6(i, j) = \frac{1}{\Delta x}(B_{16} + B_{66}) + \frac{1}{\Delta y}(B_{26} + B_{66}) + \frac{4}{\Delta x^2}D_{16} +$$

$$\frac{4}{\Delta y^2}D_{26} + \frac{2}{\Delta x \Delta y}D_{66} + B_{16}L_1 + B_{26}L_2 + B_{66}L_3$$

$$Q_1(i, j) = A_{45} \left(\frac{1}{\Delta y} + 1 \right) + A_{55} \left(\frac{1}{\Delta x} + 1 \right)$$

$$Q_2(i, j) = A_{44} \left(\frac{1}{\Delta y} + 1 \right) + A_{45} \left(\frac{1}{\Delta x} + 1 \right)$$

ويتم حساب L_1, L_2, L_3 كما يلي :

$$L_1 = \frac{1}{2\Delta x^2} |w(i+1, j) - w(i-1, j)|$$

$$L_2 = \frac{1}{2\Delta y^2} |w(i, j+1) - w(i, j-1)|$$

$$L_3 = \frac{1}{2\Delta x \Delta y} [|w(i+1, j) - w(i-1, j)| + |w(i, j+1) - w(i, j-1)|]$$

C***

APPENDIX (E)

C*****C
 C*** A FORTRAN PROGRAM BASED ON A NON-LINEAR DR METHOD ***C
 C*****C

C*** NON-LINEAR ANALYSIS OF RECTANGULAR LAMINATED PLATES UNDER STATIC
 C*** LATERAL LOADING USING FIRST ORDER SHEAR DEFORMATION THEORY

C*** DIMENSIONS OF THE PLATE:-

C A=LENGTH OF THE PLATE IN THE DIRECTION OF THE X-COORDINATE
 C B=BREATH OF THE PLATE IN THE DIRECTION OF THE Y-COORDINATE
 C NEX=NUMBER OF ELEMENTS IN THE X-DIRECTION
 C NEY=NUMBER OF ELEMENTS IN THE Y-DIRECTION
 C LAMBDA=PLATE SIDE TO THICKNESS RATIO (i.e. a/h)
 C h=PLATE THICKNESS
 C ZK,ZK1=DISTANCE OF UPPER AND LOWER SURFACES OF THE LAMINA
 C FROM THE PLATE MID-PLANE
 C X,Y,Z=CARTEZIAN COORDINATES

C*** QL=NON-DIMENSIONALIZED LATERAL LOAD

C*** ELASTIC PROPERTIES OF THE PLATE:-

C NU12=POISSON'S RATIO IN THE X-DIRECTION WHEN STRESSED IN THE Y-
 C DIRECTION
 C NU21=POISSON'S RATIO IN THE Y-DIRECTION WHEN STRESSED IN THE X-
 C DIRECTION
 C E1=MODULUS OF ELASTICITY IN THE X-DIRECTION
 C E2=MODULUS OF ELASTICITY IN THE Y-DIRECTION
 C G12=MODULUS OF RIGIDITY IN THE X-Y PLANE
 C G13=MODULUS OF RIGIDITY IN THE X-Z PLANE
 C G23=MODULUS OF RIGIDITY IN THE Y-Z PLANE

C*** TERMINOLOGIES OF LAMINATION:-

C THETA(I)=ANGLE OF LAMINATION
 C NOL=NUMBER OF LAYERS

C*** SCF=SHEAR CORRECTION FACTOR

C*** TERMINOLOGIES USED IN THE DR METHOD

C KU,KV,KW,KPHI,KPSI=DAMPING COEFFICIENTS
 C RHOU,RHOV,RHOW,RHOP,RHOS=INERTIA COEFFICIENTS
 C DT=TIME INCREMENT
 C UT,VT,WT,PHIT,PSIT=VELOCITIES OF THE PLATE ELEMENTS
 C U,V,W,PHI,PSI=DISPLACEMENTS OF THE PLATE ELEMENTS
 C N1,N2,N6,Q1,Q2,M1,M2,M6=STRESS RESULTANTS AND COUPLES
 C N1=NX, (STRESS RESULTANT IN THE X-COORDINATE)
 C N2=NY, (STRESS RESULTANT IN THE Y-COORDINATE)
 C N6=NX,Y, (STRESS RESULTANT IN THE X-Y PLANE)
 C Q1=QX, (TRANSVERSE SHEAR RESULTANT IN THE X-COORDINATE)
 C Q2=QY, (TRANSVERSE SHEAR RESULTANT IN THE Y-COORDINATE)

```

C      M1=MX, (STRESS COUPLES IN THE X-COORDINATE)
C      M2=MY, (STRESS COUPLES IN THE Y-COORDINATE)
C      M6=MXY, (STRESS COUPLES IN THE X-Y PLANE)
C      EPSIN1, EPSIN2, EPSIN6=EXTENSIONAL AND SHEAR STRAIN COMPONENTS OF
C      PLATE MID-PLANE
C      EPSIN4, EPSIN5=TRANSVERSE SHEAR STRAIN COMPONENTS OF PLATE
C      MID-PLANE
C      CHIN1, CHIN2, CHIN6=CURVATURE AND TWIST COMPONENTS OF PLATE
C      MID-PLANE

```

```

C***  OTHER TERMINOLOGIES

```

```

C      Aij=PLATE IN-PLANE STIFFNESSES, WHERE (i,j=1,2,6)
C      Aij=PLATE TRANSVERSE SHEAR STIFFNESSES, WHERE (i,j=4,5)
C      Bij=PLATE COUPLING STIFFNESSES, WHERE (i,j=1,2,6)
C      Dij=PLATE FLECTURAL STIFFNESSES, WHERE (i,j=1,2,6)

```

```

      INTEGER QX1, QY1, QX2, QY2

```

```

      REAL KU, KV, KW, KP, KS, KSU, KSV, KSW, KSP, KSS, LAMBDA, N1, N2, N6, M1, M2, M6,
+NU12, L1, L2, L3, NB1, NB2, NB6, MB1, MB2, MB6, NU21, NBB1, NBB2, NBB6, MBB1,
+MBB2, MBB6

```

```

      PARAMETER (M=18)

```

```

      DIMENSION U(-2:M, -2:M), V(-2:M, -2:M), W(-2:M, -2:M),
+PHI(-2:M, -2:M), PSI(-2:M, -2:M), UT(-2:M, -2:M),
+VT(-2:M, -2:M), WT(-2:M, -2:M), PHIT(-2:M, -2:M),
+PSIT(-2:M, -2:M), Q1(-2:M, -2:M), Q2(-2:M, -2:M),
+N1(-2:M, -2:M), N2(-2:M, -2:M), N6(-2:M, -2:M),
+M1(-2:M, -2:M), M2(-2:M, -2:M), M6(-2:M, -2:M),
+NB1(-2:M, -2:M), NB2(-2:M, -2:M), NB6(-2:M, -2:M),
+MB1(-2:M, -2:M), MB2(-2:M, -2:M), MB6(-2:M, -2:M),
+QB1(-2:M, -2:M), QB2(-2:M, -2:M)

```

```

      DIMENSION RHOV(-2:M, -2:M), RHOV(-2:M, -2:M),
+RHOW(-2:M, -2:M), RHOP(-2:M, -2:M), RHOS(-2:M, -2:M)

```

```

      DIMENSION THETA(20)

```

```

      OPEN(UNIT=5, FILE='DR.DAT', STATUS='OLD')
      OPEN(UNIT=6, FILE='DR.OUT', STATUS='UNKNOWN')

```

```

C***  READ STATEMENTS

```

```

      READ(5, *) KU, KV, KW, KP, KS
      READ(5, *) DT, NMAX, NEX, NEY, SCF
      READ(5, *) NX1, NXY1, QX1, MX1, MXY1
      READ(5, *) NX2, NXY2, QX2, MX2, MXY2
      READ(5, *) NY1, NYX1, QY1, MY1, MYX1
      READ(5, *) NY2, NYX2, QY2, MY2, MYX2
      READ(5, *) A, B, LAMBDA, QL, NOL
      READ(5, *) (THETA(I), I=1, NOL)
      READ(5, *) E1, E2, G12, G13, G23, NU12

```

```

C***  FORMAT STATEMENTS

```

```

10 FORMAT(1X,'W(I,J)')
15 FORMAT(11(1X,F8.4))
20 FORMAT(2X,'KU=',F8.2,2X,'KV=',F8.2,2X,'KW=',F8.2,2X,'KP=',F8.2,
+2X,'KS=',F8.2)
30 FORMAT(2X,'DT=',F3.2,2X,'NMAX =',I5,2X,'NEX=',I2,2X,'NEY=',I2,
+2X,'SCF=',F7.4)
40 FORMAT(2X,'A=',F4.2,2X,'B=',F4.2,2X,'LAMBDA=',F7.3,2X,'QL=',F10.4,
+2X,'NOL=',I2)
50 FORMAT(2X,'THETA(I)=' ,16(2X,F5.1))
60 FORMAT(2X,'E1=',F7.4,2X,'E2=',F5.3,2X,'G12=',F6.4,2X,'G13=',F6.4,
+2X,'G23=',F6.4,2X,'NU12=',F4.3)
70 FORMAT(2X,'NX1=',I1,2X,'NXY1=',I1,2X,'QX1=',I1,2X,'MX1=',I1,2X,
+'MXY1=',I1)
80 FORMAT(2X,'NX2=',I1,2X,'NXY2=',I1,2X,'QX2=',I1,2X,'MX2=',I1,2X,
+'MXY2=',I1)
90 FORMAT(2X,'NY1=',I1,2X,'NYX1=',I1,2X,'QY1=',I1,2X,'MY1=',I1,2X,
+'MYX1=',I1)
100 FORMAT(2X,'NY2=',I1,2X,'NYX2=',I1,2X,'QY2=',I1,2X,'MY2=',I1,2X,
+'MYX2=',I1)

```

C*** WRITE STATEMENTS

```

WRITE(6,20) KU,KV,KW,KP,KS
WRITE(6,30) DT,NMAX,NEX,NEY,SCF
WRITE(6,40) A,B,LAMBDA,QL,NOL
WRITE(6,50) (THETA(I),I=1,NOL)
WRITE(6,60) E1,E2,G12,G13,G23,NU12
WRITE(6,70) NX1,NXY1,QX1,MX1,MXY1
WRITE(6,80) NX2,NXY2,QX2,MX2,MXY2
WRITE(6,90) NY1,NYX1,QY1,MY1,MYX1
WRITE(6,100) NY2,NYX2,QY2,MY2,MYX2

```

PI=22.0/7.0

```

DO 110 I=1,NOL
THETA(I)=THETA(I)*PI/180.0
110 CONTINUE

```

```

DX=A/FLOAT(NEX)
DY=B/FLOAT(NEY)

```

```

A11=0.0
A12=0.0
A13=0.0
A16=0.0
A22=0.0
A23=0.0
A26=0.0
A33=0.0
A44=0.0
A45=0.0
A55=0.0
A66=0.0
B11=0.0
B12=0.0
B16=0.0
B22=0.0

```



```

B26=0.0
B66=0.0
D11=0.0
D12=0.0
D16=0.0
D22=0.0
D26=0.0
D66=0.0

```

```

NU21=NU12*E2/E1
CB11=E1/(1.0-NU12*NU21)
CB12=E2*NU12/(1.0-NU12*NU21)
CB13=0.0
CB16=0.0
CB22=E2/(1.0-NU12*NU21)
CB23=0.0
CB26=0.0
CB33=0.0
CB36=0.0
CB44=G23
CB45=0.0
CB55=G13
CB66=G12

```

```

DO 120 I=1,NOL
COT=COS(THETA(I))
SIT=SIN(THETA(I))
C11=CB11*COT**4+2.0*COT**2*SIT**2*(CB12+2.0*CB66)+CB22*SIT**4-
+4.0*COT*SIT*(CB16*COT**2+CB26*SIT**2)
C12=COT**2*SIT**2*(CB11+CB22-4.0*CB66)+CB12*(COT**4+SIT**4)+2.0
+*COT*SIT*(COT**2-SIT**2)*(CB16-CB26)
C13=CB13*COT**2+CB23*SIT**2
C16=COT*SIT*(CB11*COT**2-CB22*SIT**2-(CB12+2.0*CB66)*
+(COT**2-SIT**2))+COT**2*(COT**2-3.0*SIT**2)*CB16+SIT**2*(3.0*COT
+**2-SIT**2)*CB26
C22=CB11*SIT**4+2.0*COT**2*SIT**2*(CB12+2.0*CB66)+CB22*COT**4+4.0
+*COT*SIT*(CB26*COT**2+CB16*SIT**2)
C23=CB13*SIT**2+CB23*COT**2
C26=COT*SIT*(CB11*SIT**2-CB22*COT**2+(CB12+2.0*CB66)*
+(COT**2-SIT**2))+COT**2*(COT**2-3.0*SIT**2)*CB26+SIT**2*(3.0*COT
+**2-SIT**2)*CB16
C33=CB33
C36=(CB23-CB13)*COT*SIT
C44=CB44*COT**2+CB55*SIT**2+2.0*COT*SIT*CB45
C45=(COT**2-SIT**2)*CB45-(CB44-CB55)*COT*SIT
C55=CB44*SIT**2+CB55*COT**2-2.0*COT*SIT*CB45
C66=(CB11+CB22-2.0*CB12)*COT**2*SIT**2+CB66*(COT**2-SIT**2)**2
+-2.0*COT*SIT*(COT**2-SIT**2)*(CB26-CB16)

```

```

ZK=-0.5+(FLOAT(I)-1.0)/FLOAT(NOL)
ZK1=-0.5+FLOAT(I)/FLOAT(NOL)

```

```

A11=A11+C11*(ZK1-ZK)
A12=A12+C12*(ZK1-ZK)
A16=A16+C16*(ZK1-ZK)

```

```

A22=A22+C22*(ZK1-ZK)
A26=A26+C26*(ZK1-ZK)
A66=A66+C66*(ZK1-ZK)
A44=A44+SCF*C44*(ZK1-ZK)
A45=A45+SCF*C45*(ZK1-ZK)
A55=A55+SCF*C55*(ZK1-ZK)

```

```

B11=B11+C11*(ZK1**2-ZK**2)/2.0
B12=B12+C12*(ZK1**2-ZK**2)/2.0
B16=B16+C16*(ZK1**2-ZK**2)/2.0
B22=B22+C22*(ZK1**2-ZK**2)/2.0
B26=B26+C26*(ZK1**2-ZK**2)/2.0
B66=B66+C66*(ZK1**2-ZK**2)/2.0

```

```

D11=D11+C11*(ZK1**3-ZK**3)/3.0
D12=D12+C12*(ZK1**3-ZK**3)/3.0
D16=D16+C16*(ZK1**3-ZK**3)/3.0
D22=D22+C22*(ZK1**3-ZK**3)/3.0
D26=D26+C26*(ZK1**3-ZK**3)/3.0
D66=D66+C66*(ZK1**3-ZK**3)/3.0

```

120 CONTINUE

C*** SET INITIAL VALUES FOR STRESSES

```

DO 130 I=0,NEX
DO 130 J=0,NEY
N1(I,J)=0.0
N2(I,J)=0.0
N6(I,J)=0.0
Q1(I,J)=0.0
Q2(I,J)=0.0
M1(I,J)=0.0
M2(I,J)=0.0
M6(I,J)=0.0

```

130 CONTINUE

C*** SET INITIAL VALUES FOR VELOCITIES

```

DO 140 I=0,NEX
DO 140 J=0,NEY
UT(I,J)=0.0
VT(I,J)=0.0
WT(I,J)=0.0
PHIT(I,J)=0.0
PSIT(I,J)=0.0

```

140 CONTINUE

C*** SET INITIAL VALUES FOR DISPLACEMENTS

```

DO 150 I=0,NEX
DO 150 J=0,NEY
U(I,J)=0.0
V(I,J)=0.0
W(I,J)=0.0
PHI(I,J)=0.0
PSI(I,J)=0.0

```

150 CONTINUE

```

NBB1=(A11+A16)/DX+(A12+A16)/DY+4.0*ABS(B11)/DX**2+4.0*ABS(B12)/
+DY**2+2.0*ABS(B16)/(DX*DY)
NBB2=(A12+A26)/DX+(A22+A26)/DY+4.0*ABS(B12)/DX**2+4.0*ABS(B22)/
+DY**2+2.0*ABS(B26)/(DX*DY)
NBB6=(A16+A66)/DX+(A26+A66)/DY+4.0*ABS(B16)/DX**2+4.0*ABS(B26)/
+DY**2+2.0*ABS(B66)/(DX*DY)
QBB1=A45*((1.0/DY)+1.0)+A55*((1.0/DX)+1.0)
QBB2=A44*((1.0/DY)+1.0)+A45*((1.0/DX)+1.0)
MBB1=(ABS(B11)+ABS(B16))/DX+(ABS(B12)+ABS(B16))/DY+4.0*D11/DX**2+
+4.0*D12/DY**2+2.0*D16/(DX*DY)
MBB2=(ABS(B12)+ABS(B26))/DX+(ABS(B22)+ABS(B26))/DY+4.0*D12/DX**2+
+4.0*D22/DY**2+2.0*D26/(DX*DY)
MBB6=(ABS(B16)+ABS(B66))/DX+(ABS(B26)+ABS(B66))/DY+4.0*D16/DX**2+
+4.0*D26/DY**2+2.0*D66/(DX*DY)

```

C*** BEGINNING OF THE ITERATIONS

```
DO 160 N=1,NMAX
```

C*** COMPUTES FICTITIOUS DENSITIES

```

DO 170 I=0,NEX
DO 170 J=0,NEY
L1=ABS(W(I+1,J)-W(I-1,J))/(2.0*DX**2)
L2=ABS(W(I,J+1)-W(I,J-1))/(2.0*DY**2)
L3=(ABS(W(I+1,J)-W(I-1,J))+ABS(W(I,J+1)-W(I,J-1)))/(2.0*DX*DY)

NB1(I,J)=NBB1+A11*L1+A12*L2+A16*L3
NB2(I,J)=NBB2+A12*L1+A22*L2+A26*L3
NB6(I,J)=NBB6+A16*L1+A26*L2+A66*L3
QB1(I,J)=QBB1
QB2(I,J)=QBB2
MB1(I,J)=MBB1+ABS(B11)*L1+ABS(B12)*L2+ABS(B16)*L3
MB2(I,J)=MBB2+ABS(B12)*L1+ABS(B22)*L2+ABS(B26)*L3
MB6(I,J)=MBB6+ABS(B16)*L1+ABS(B26)*L2+ABS(B66)*L3
170 CONTINUE

DO 171 I=0,NEX
DO 171 J=0,NEY
PNBX1=(NB1(I+1,J)+NB1(I-1,J))/(2.0*DX)
PNBY6=(NB6(I,J+1)+NB6(I,J-1))/(2.0*DY)
PNBX6=(NB6(I+1,J)+NB6(I-1,J))/(2.0*DX)
PNBY2=(NB2(I,J+1)+NB2(I,J-1))/(2.0*DY)
PWSXS=(W(I+1,J)-2.0*W(I,J)+W(I-1,J))/DX**2
PWSYS=(W(I,J+1)-2.0*W(I,J)+W(I,J-1))/DY**2
PWSXYS=(W(I+1,J+1)-W(I-1,J+1)+W(I-1,J-1)-W(I+1,J-1))/(2.0*DX*DY)
PMBX1=(MB1(I+1,J)+MB1(I-1,J))/2.0*DX)
PMBY6=(MB6(I,J+1)+MB6(I,J-1))/2.0*DY)
PMBX6=(MB6(I+1,J)+MB6(I-1,J))/2.0*DX)
PMBY2=(MB2(I,J+1)+MB2(I,J-1))/2.0*DY)

RHO(I,J)=0.25*(PNBX1+PNBY6)
RHOV(I,J)=0.25*(PNBX6+PNBY2)
RHOW(I,J)=0.25*(LAMBDA**2*(QB1(I,J)/DX+QB2(I,J)/DY)+(4.0/DY**2)*
+ABS(N2(I,J))+(4.0/DX**2)*ABS(N1(I,J))+(2.0/(DX*DY))*ABS(N6(I,J))+
+NB1(I,J)*ABS(PWSXS)+NB2(I,J)*ABS(PWSYS)+NB6(I,J)*ABS(PWSXYS))

```

```

RHOP(I,J)=0.25*(PMBX1+PMBY6+LAMBDA**2*QB1(I,J))
RHOS(I,J)=0.25*(PMBX6+PMBY2+LAMBDA**2*QB2(I,J))
171 CONTINUE

DO 180 I=0,NEX
DO 180 J=0,NEY
KSU=KU*DT/(2.0*RHO(I,J))
KSV=KV*DT/(2.0*RHV(I,J))
KSW=KW*DT/(2.0*RHOW(I,J))
KSP=KP*DT/(2.0*RHOP(I,J))
KSS=KS*DT/(2.0*RHOS(I,J))

PNX1=(N1(I+1,J)-N1(I-1,J))/(2.0*DX)
PNY6=(N6(I,J+1)-N6(I,J-1))/(2.0*DY)
PNX6=(N6(I+1,J)-N6(I-1,J))/(2.0*DX)
PNY2=(N2(I,J+1)-N2(I,J-1))/(2.0*DY)
PWSX=(W(I+1,J)-2.0*W(I,J)+W(I-1,J))/(DX**2)
PWSXY=(W(I+1,J+1)-W(I+1,J-1)-W(I-1,J+1)+W(I-1,J-1))/(4.0*DX*DY)
PWSY=(W(I,J+1)-2.0*W(I,J)+W(I,J-1))/(DY**2)
PQX1=(Q1(I+1,J)-Q1(I-1,J))/(2.0*DX)
PQY2=(Q2(I,J+1)-Q2(I,J-1))/(2.0*DY)
PMX1=(M1(I+1,J)-M1(I-1,J))/(2.0*DX)
PMY6=(M6(I,J+1)-M6(I,J-1))/(2.0*DY)
PMX6=(M6(I+1,J)-M6(I-1,J))/(2.0*DX)
PMY2=(M2(I,J+1)-M2(I,J-1))/(2.0*DY)

F1=PNX1+PNY6
F2=PNX6+PNY2
F3=N1(I,J)*PWSX+2.0*N6(I,J)*PWSXY+N2(I,J)*PWSY+LAMBDA**2*(PQX1+
+PQY2)+QL
F4=PMX1+PMY6-LAMBDA**2*Q1(I,J)
F5=PMX6+PMY2-LAMBDA**2*Q2(I,J)

UT(I,J)=((1.0-KSU)*UT(I,J)+F1*DT/RHO(I,J))/(1.0+KSU)
VT(I,J)=((1.0-KSV)*VT(I,J)+F2*DT/RHV(I,J))/(1.0+KSV)
WT(I,J)=((1.0-KSW)*WT(I,J)+F3*DT/RHOW(I,J))/(1.0+KSW)
PHIT(I,J)=((1.0-KSP)*PHIT(I,J)+F4*DT/RHOP(I,J))/(1.0+KSP)
PSIT(I,J)=((1.0-KSS)*PSIT(I,J)+F5*DT/RHOS(I,J))/(1.0+KSS)
180 CONTINUE

C*** COMPUTE DISPLACEMENTS

DO 190 I=0,NEX
DO 190 J=0,NEY
U(I,J)=U(I,J)+UT(I,J)*DT
V(I,J)=V(I,J)+VT(I,J)*DT
W(I,J)=W(I,J)+WT(I,J)*DT
PHI(I,J)=PHI(I,J)+PHIT(I,J)*DT
PSI(I,J)=PSI(I,J)+PSIT(I,J)*DT
190 CONTINUE

C*** BOUNDARY CONDITIONS FOR DISPLACEMENTS

DO 200 J=0,NEY
IF(NX1.GT.0) U(0,J)=0.0
IF(NX2.GT.0) U(NEX,J)=0.0
IF(NXY1.GT.0) V(0,J)=0.0

```

```

IF(NXY2.GT.0) V(NEX,J)=0.0
IF(QX1.GT.0) W(0,J)=0.0
IF(QX2.GT.0) W(NEX,J)=0.0
IF(MX1.GT.0) PHI(0,J)=0.0
IF(MX2.GT.0) PHI(NEX,J)=0.0
IF(MXY1.GT.0) PSI(0,J)=0.0
IF(MXY2.GT.0) PSI(NEX,J)=0.0

```

200 CONTINUE

```

DO 201 I=0,NEX
IF(NY1.GT.0) V(I,0)=0.0
IF(NY2.GT.0) V(I,NEY)=0.0
IF(NYX1.GT.0) U(I,0)=0.0
IF(NYX2.GT.0) U(I,NEY)=0.0
IF(QY1.GT.0) W(I,0)=0.0
IF(QY2.GT.0) W(I,NEY)=0.0
IF(MY1.GT.0) PSI(I,0)=0.0
IF(MY2.GT.0) PSI(I,NEY)=0.0
IF(MYX1.GT.0) PHI(I,0)=0.0
IF(MYX2.GT.0) PHI(I,NEY)=0.0

```

201 CONTINUE

C*** FICTITIOUS VALUES FOR DISPLACEMENTS

```

DO 210 J=0,NEY
U(-1,J)=3.0*U(0,J)-3.0*U(1,J)+U(2,J)
U(NEX+1,J)=3.0*U(NEX,J)-3.0*U(NEX-1,J)+U(NEX-2,J)
V(-1,J)=3.0*V(0,J)-3.0*V(1,J)+V(2,J)
V(NEX+1,J)=3.0*V(NEX,J)-3.0*V(NEX-1,J)+V(NEX-2,J)
W(-1,J)=3.0*W(0,J)-3.0*W(1,J)+W(2,J)
W(NEX+1,J)=3.0*W(NEX,J)-3.0*W(NEX-1,J)+W(NEX-2,J)
PHI(-1,J)=3.0*PHI(0,J)-3.0*PHI(1,J)+PHI(2,J)
PHI(NEX+1,J)=3.0*PHI(NEX,J)-3.0*PHI(NEX-1,J)+PHI(NEX-2,J)
PSI(-1,J)=3.0*PSI(0,J)-3.0*PSI(1,J)+PSI(2,J)
PSI(NEX+1,J)=3.0*PSI(NEX,J)-3.0*PSI(NEX-1,J)+PSI(NEX-2,J)

```

210 CONTINUE

```

DO 211 I=0,NEX
U(I,-1)=3.0*U(I,0)-3.0*U(I,1)+U(I,2)
U(I,NEY+1)=3.0*U(I,NEY)-3.0*U(I,NEY-1)+U(I,NEY-2)
V(I,-1)=3.0*V(I,0)-3.0*V(I,1)+V(I,2)
V(I,NEY+1)=3.0*V(I,NEY)-3.0*V(I,NEY-1)+V(I,NEY-2)
W(I,-1)=3.0*W(I,0)-3.0*W(I,1)+W(I,2)
W(I,NEY+1)=3.0*W(I,NEY)-3.0*W(I,NEY-1)+W(I,NEY-2)
PHI(I,-1)=3.0*PHI(I,0)-3.0*PHI(I,1)+PHI(I,2)
PHI(I,NEY+1)=3.0*PHI(I,NEY)-3.0*PHI(I,NEY-1)+PHI(I,NEY-2)
PSI(I,-1)=3.0*PSI(I,0)-3.0*PSI(I,1)+PSI(I,2)
PSI(I,NEY+1)=3.0*PSI(I,NEY)-3.0*PSI(I,NEY-1)+PSI(I,NEY-2)

```

211 CONTINUE

C*** COMPUTE STRESS RESULTANTS AND STRESS COUPLES

```

DO 220 I=0,NEX
DO 220 J=0,NEY
PUX=(U(I+1,J)-U(I-1,J))/(2.0*DX)
PWX=(W(I+1,J)-W(I-1,J))/(2.0*DX)
PVY=(V(I,J+1)-V(I,J-1))/(2.0*DY)

```

```

PWY=(W(I,J+1)-W(I,J-1))/(2.0*DY)
PUY=(U(I,J+1)-U(I,J-1))/(2.0*DY)
PVX=(V(I+1,J)-V(I-1,J))/(2.0*DX)
PPHIX=(PHI(I+1,J)-PHI(I-1,J))/(2.0*DX)
PPSIY=(PSI(I,J+1)-PSI(I,J-1))/(2.0*DY)
PPHIY=(PHI(I,J+1)-PHI(I,J-1))/(2.0*DY)
PPSIX=(PSI(I+1,J)-PSI(I-1,J))/(2.0*DX)

```

```

EPSIN1=PUX+0.5*PWX**2
EPSIN2=PVY+0.5*PWY**2
EPSIN4=PWY+PSI(I,J)
EPSIN5=PWX+PHI(I,J)
EPSIN6=PUY+PVX+PWX*PWY
CHIN1=PPHIX
CHIN2=PPSIY
CHIN6=PPHIY+PPSIX

```

```

N1(I,J)=A11*EPSIN1+A12*EPSIN2+A16*EPSIN6+B11*CHIN1+B12*CHIN2+
+B16*CHIN6
N2(I,J)=A12*EPSIN1+A22*EPSIN2+A26*EPSIN6+B12*CHIN1+B22*CHIN2+
+B26*CHIN6
N6(I,J)=A16*EPSIN1+A26*EPSIN2+A66*EPSIN6+B16*CHIN1+B26*CHIN2+
+B66*CHIN6
M1(I,J)=B11*EPSIN1+B12*EPSIN2+B16*EPSIN6+D11*CHIN1+D12*CHIN2+
+D16*CHIN6
M2(I,J)=B12*EPSIN1+B22*EPSIN2+B26*EPSIN6+D12*CHIN1+D22*CHIN2+
+D26*CHIN6
M6(I,J)=B16*EPSIN1+B26*EPSIN2+B66*EPSIN6+D16*CHIN1+D26*CHIN2+
+D66*CHIN6
Q1(I,J)=A45*EPSIN4+A55*EPSIN5
Q2(I,J)=A44*EPSIN4+A45*EPSIN5

```

220 CONTINUE

C*** BOUNDARY CONDITIONS FOR STRESS RESULTANTS AND STRESS COUPLES

```

DO 230 J=0,NEY
IF(NX1.EQ.0) N1(0,J)=0.0
IF(NX2.EQ.0) N1(NEX,J)=0.0
IF(NXY1.EQ.0) N6(0,J)=0.0
IF(NXY2.EQ.0) N6(NEX,J)=0.0
IF(QX1.EQ.0) Q1(0,J)=0.0
IF(QX2.EQ.0) Q1(NEX,J)=0.0
IF(MX1.EQ.0) M1(0,J)=0.0
IF(MX2.EQ.0) M1(NEX,J)=0.0
IF(MXY1.EQ.0) M6(0,J)=0.0
IF(MXY2.EQ.0) M6(NEX,J)=0.0

```

230 CONTINUE

```

DO 231 I=0,NEX
IF(NY1.EQ.0) N2(I,0)=0.0
IF(NY2.EQ.0) N2(I,NEY)=0.0
IF(NYX1.EQ.0) N6(I,0)=0.0
IF(NYX2.EQ.0) N6(I,NEY)=0.0
IF(QY1.EQ.0) Q2(I,0)=0.0
IF(QY2.EQ.0) Q2(I,NEY)=0.0
IF(MY1.EQ.0) M2(I,0)=0.0
IF(MY2.EQ.0) M2(I,NEY)=0.0

```

```

IF(MYX1.EQ.0) M6(I,0)=0.0
IF(MYX2.EQ.0) M6(I,NEY)=0.0
231 CONTINUE

C** FICTITIOUS VALUES FOR STRESS RESULTANTS AND COUPLES

DO 240 J=0,NEY
N1(-1,J)=3.0*N1(0,J)-3.0*N1(1,J)+N1(2,J)
N1(NEX+1,J)=3.0*N1(NEX,J)-3.0*N1(NEX-1,J)+N1(NEX-2,J)
N2(-1,J)=3.0*N2(0,J)-3.0*N2(1,J)+N2(2,J)
N2(NEX+1,J)=3.0*N2(NEX,J)-3.0*N2(NEX-1,J)+N2(NEX-2,J)
N6(-1,J)=3.0*N6(0,J)-3.0*N6(1,J)+N6(2,J)
N6(NEX+1,J)=3.0*N6(NEX,J)-3.0*N6(NEX-1,J)+N6(NEX-2,J)
Q1(-1,J)=3.0*Q1(0,J)-3.0*Q1(1,J)+Q1(2,J)
Q1(NEX+1,J)=3.0*Q1(NEX,J)-3.0*Q1(NEX-1,J)+Q1(NEX-2,J)
Q2(-1,J)=3.0*Q2(0,J)-3.0*Q2(1,J)+Q2(2,J)
Q2(NEX+1,J)=3.0*Q2(NEX,J)-3.0*Q2(NEX-1,J)+Q2(NEX-2,J)
M1(-1,J)=3.0*M1(0,J)-3.0*M1(1,J)+M1(2,J)
M1(NEX+1,J)=3.0*M1(NEX,J)-3.0*M1(NEX-1,J)+M1(NEX-2,J)
M2(-1,J)=3.0*M2(0,J)-3.0*M2(1,J)+M2(2,J)
M2(NEX+1,J)=3.0*M2(NEX,J)-3.0*M2(NEX-1,J)+M2(NEX-2,J)
M6(-1,J)=3.0*M6(0,J)-3.0*M6(1,J)+M6(2,J)
M6(NEX+1,J)=3.0*M6(NEX,J)-3.0*M6(NEX-1,J)+M6(NEX-2,J)
240 CONTINUE

DO 241 I=0,NEX
N1(I,-1)=3.0*N1(I,0)-3.0*N1(I,1)+N1(I,2)
N1(I,NEY+1)=3.0*N1(I,NEY)-3.0*N1(I,NEY-1)+N1(I,NEY-2)
N2(I,-1)=3.0*N2(I,0)-3.0*N2(I,1)+N2(I,2)
N2(I,NEY+1)=3.0*N2(I,NEY)-3.0*N2(I,NEY-1)+N2(I,NEY-2)
N6(I,-1)=3.0*N6(I,0)-3.0*N6(I,1)+N6(I,2)
N6(I,NEY+1)=3.0*N6(I,NEY)-3.0*N6(I,NEY-1)+N6(I,NEY-2)
Q1(I,-1)=3.0*Q1(I,0)-3.0*Q1(I,1)+Q1(I,2)
Q1(I,NEY+1)=3.0*Q1(I,NEY)-3.0*Q1(I,NEY-1)+Q1(I,NEY-2)
Q2(I,-1)=3.0*Q2(I,0)-3.0*Q2(I,1)+Q2(I,2)
Q2(I,NEY+1)=3.0*Q2(I,NEY)-3.0*Q2(I,NEY-1)+Q2(I,NEY-2)
M1(I,-1)=3.0*M1(I,0)-3.0*M1(I,1)+M1(I,2)
M1(I,NEY+1)=3.0*M1(I,NEY)-3.0*M1(I,NEY-1)+M1(I,NEY-2)
M2(I,-1)=3.0*M2(I,0)-3.0*M2(I,1)+M2(I,2)
M2(I,NEY+1)=3.0*M2(I,NEY)-3.0*M2(I,NEY-1)+M2(I,NEY-2)
M6(I,-1)=3.0*M6(I,0)-3.0*M6(I,1)+M6(I,2)
M6(I,NEY+1)=3.0*M6(I,NEY)-3.0*M6(I,NEY-1)+M6(I,NEY-2)
241 CONTINUE

C*** CHECK INSTABILITY

NL=0
IF(ABS(W(NEX/2,NEY/2)).GT.10.0) THEN
NL=1
GO TO 250
ENDIF

C*** CONVERGENCE CRITERION

LL=0
DO 260 I=1,NEX-1
DO 260 J=1,NEY-1

```

```
IF(UT(I,J).GT.0.000001) LL=LL+1
IF(VT(I,J).GT.0.000001) LL=LL+1
IF(WT(I,J).GT.0.000001) LL=LL+1
IF(PHIT(I,J).GT.0.000001) LL=LL+1
IF(PSIT(I,J).GT.0.000001) LL=LL+1
260 CONTINUE

IF(LL.GT.0) THEN
GO TO 160
ELSE
GO TO 270
ENDIF
160 CONTINUE

270 WRITE(6,*) 'NUMBER OF ITERATIONS=',N
WRITE(6,10)
DO 280 I=0,NEX/2
WRITE(6,15) (W(I,J),J=0,NEY/2)
280 CONTINUE

250 IF(NL.EQ.1) WRITE(6,*) 'NUMERICAL INSTABILITY IS EXPERIENCED'
STOP
END
```